

## **5.12 Actionneurs pour Micromanipulateurs**

5.12.1 Actionneurs à déformation (Dilatation thermique, SMA Shape Memory Alloys, effet Piézoélectrique)

Principes d'amplification: Guidages à lames, bimorphes incrémentaux (Inch-worm, Stick-Slip, Impact-drive)

Moteurs à ultrasons

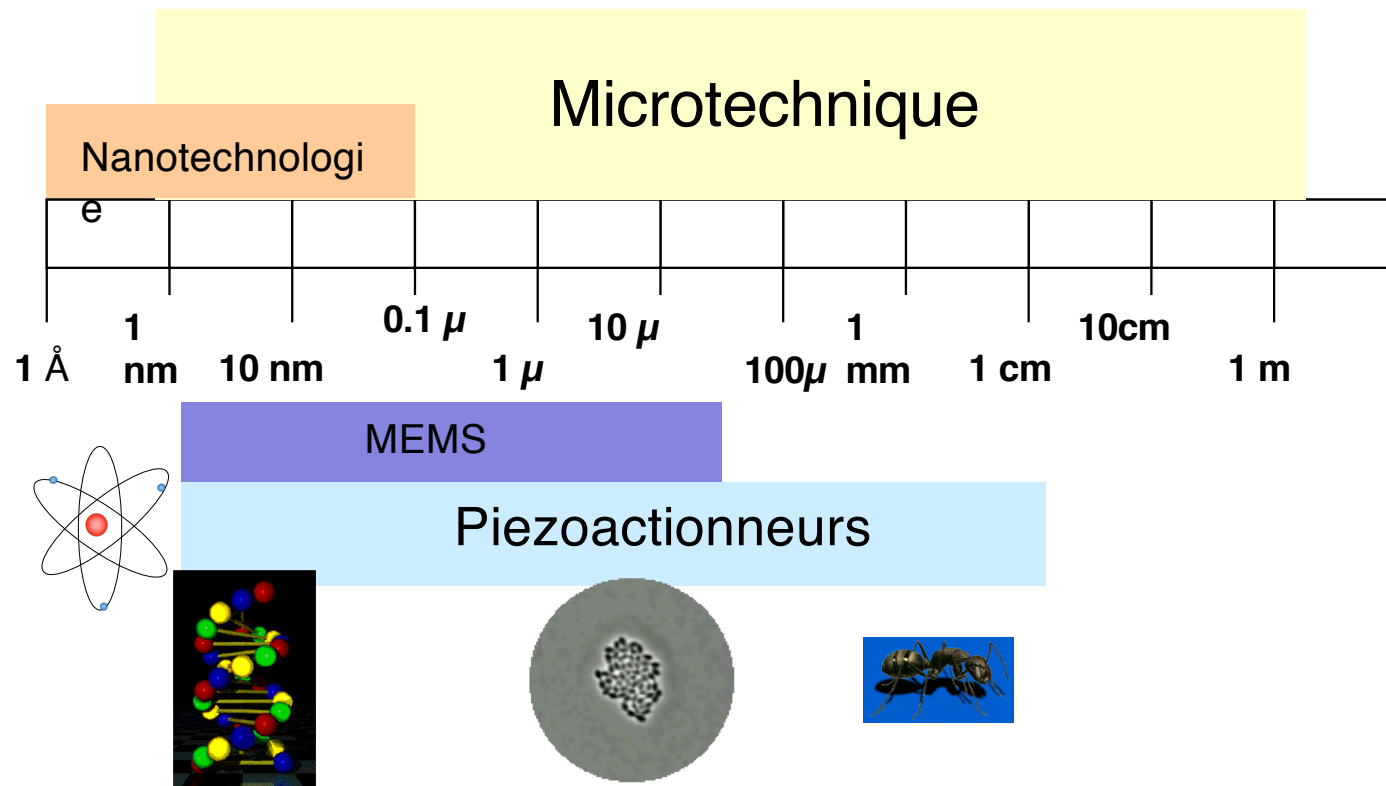
Applications: Microscopes à sonde proche (AFM, STM)

## Books on Micro-Actuators



- **Microrobotics**      Methods & Applications  
Yves Bellouard, CRC Press, 2010
- **Next-Generation Actuators Leading Breakthroughs**  
Toshiro Higuchi, Koichi Suzumori, Satoshi Tadokoro  
Springer, 2010
- **Micro-actionneurs électromagnétiques**  
Orphée Cugat, Hermes-Sciences, Lavoisier, 2002

# Préliminaires

## *Rappel des ordres de grandeur*



## Typical accuracies in robotics

<b><i>Conventional (industrial):</i></b>	<b><i>100 - 10 <math>\mu</math></i></b>	
<b><i>Precision (micro-assembly): (machine tools)</i></b>	<b><i>10 <math>\mu</math> order</i></b>	
<b><i>High precision : (micro-robotics)</i></b>	<b><i>10-1<math>\mu</math> order</i></b>	
<b><i>Ultra-precision</i></b>	<b><i>from <math>\mu</math> to nm order</i></b>	

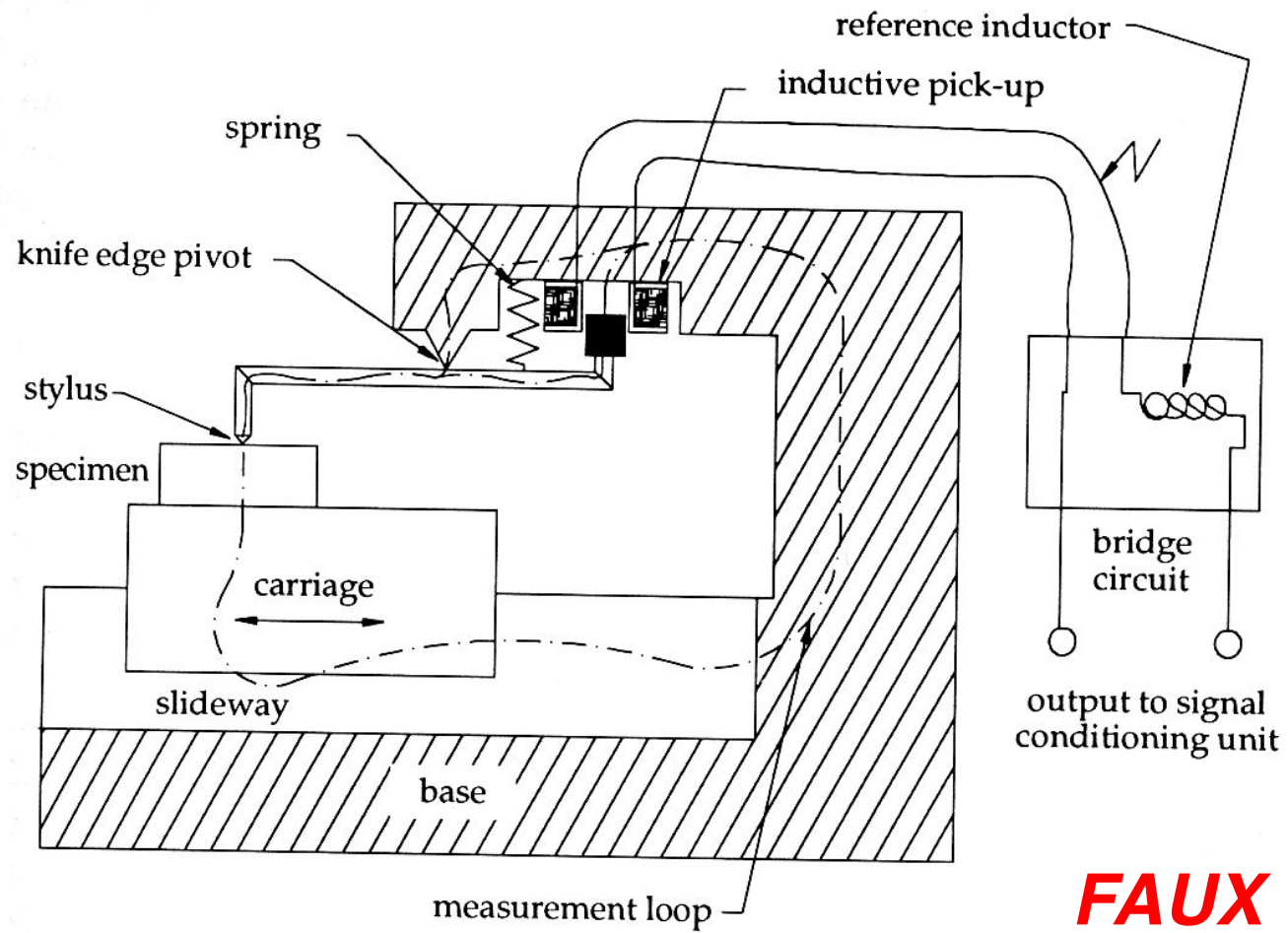
## Quelques principes de base pour la haute précision:

- Eviter
- Jeux (Backlash)
  - **frottements secs**
  - hyperstatismes !
  - sources de chaleur, gradients de température

## Quelques principes de base pour la haute précision:

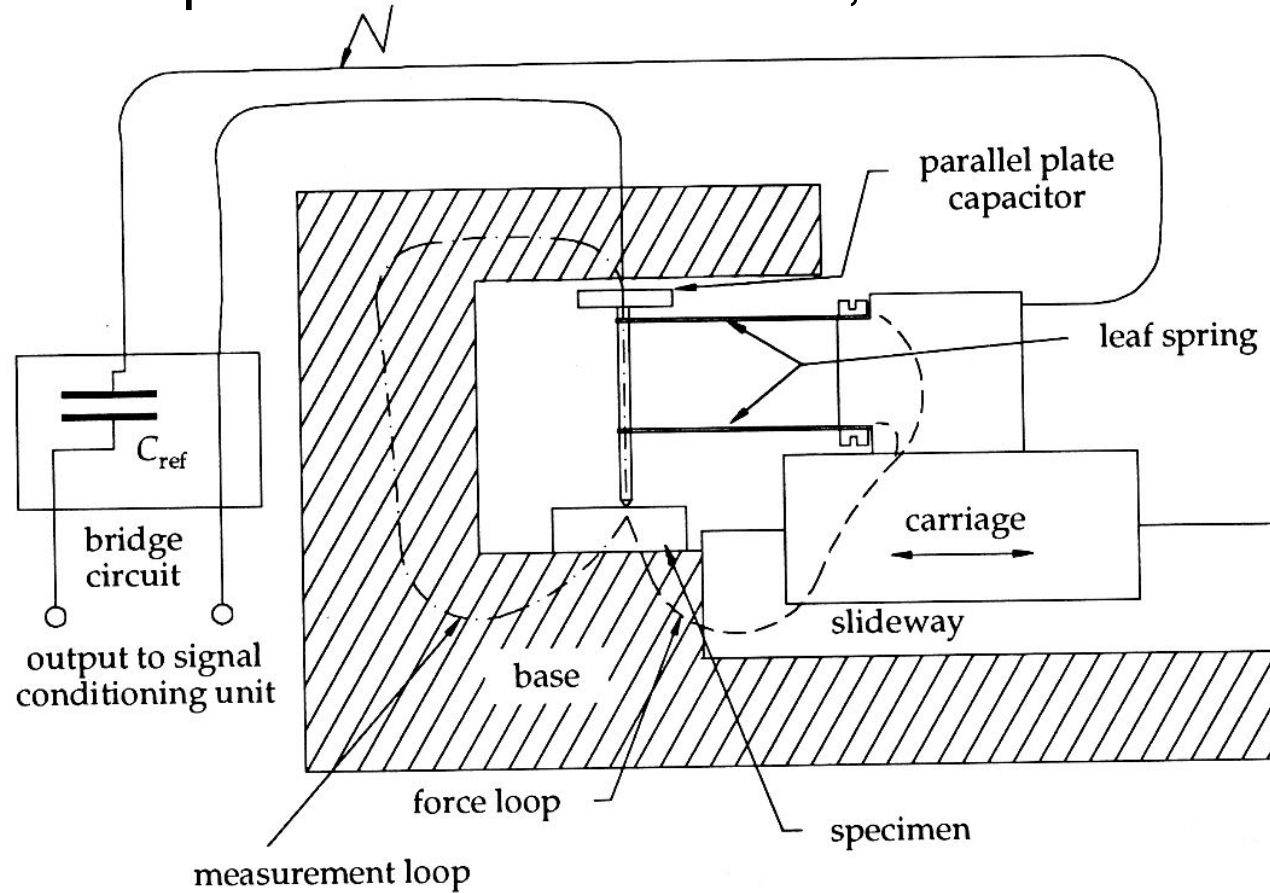
- Minimiser les boucles de forces et boucles de mesures.
- Séparer autant que possible ces deux boucles!
- Respecter le principe d'Abbe (colinéarité sortie-actionneur-mesure)
- Rechercher la symétrie

S.T. Smith,  
D.G. Chetwynd  
"Ultraprecision  
Mechanism Design"



**FAUX !**

# Concept de boucle de mesure, boucle de force



**JUSTE!**

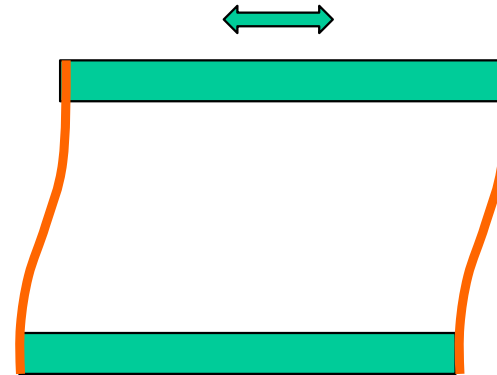
S.T. Smith, D.G. Chetwynd  
"Ultraprecision Mechanism Design"



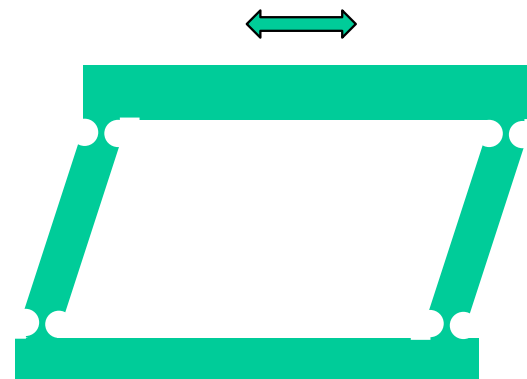
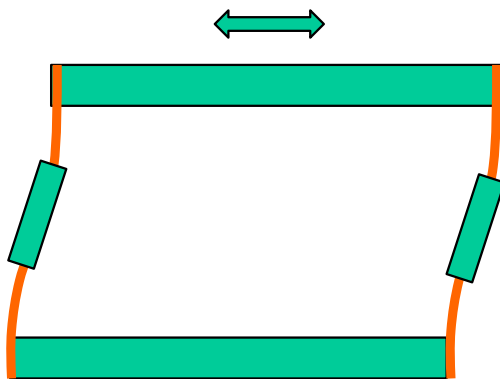
## Articulation sans jeux & sans frottements sec:

Guidages à lames

Question: Linéaire?



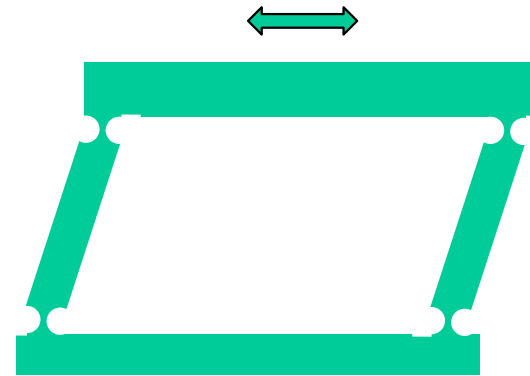
Constat: La partie centrale de la lame travaille peu  
=> idée de laisser cette partie rigide



## Avantage de tailler le guidage dans la masse:

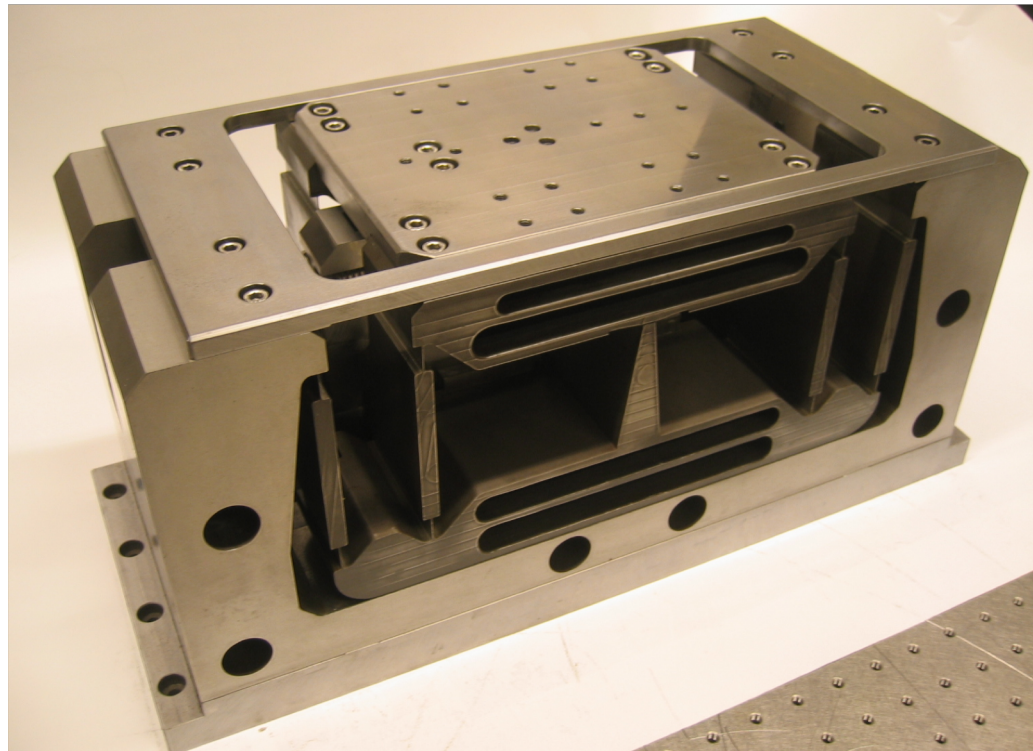
- Pas d'assemblage!

Usinage:  
Par électroérosion à fil

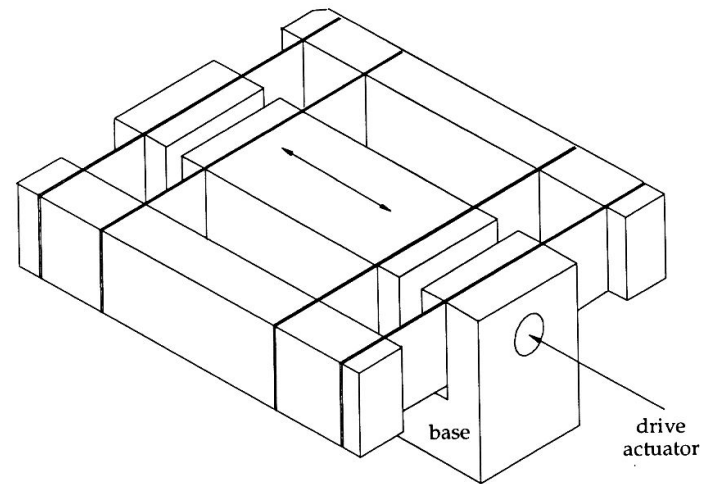


Possibilité de faire des guidages parfaitement rectiligne

# Linear Displacement: Compensate parasitic transverse motion

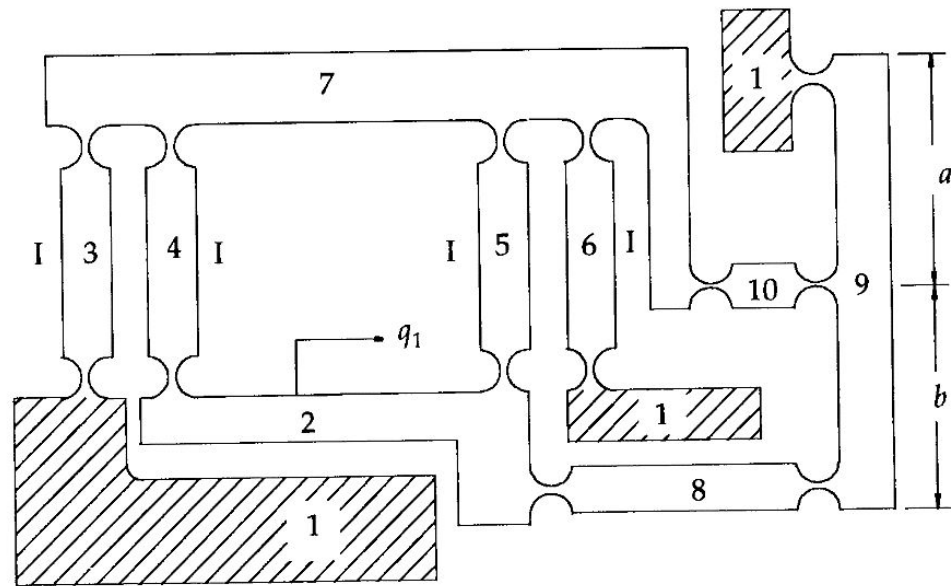


S.T. Smith, D.G. Chetwynd  
"Ultraprecision Mechanism Design"  
Gordon & Breach 1992



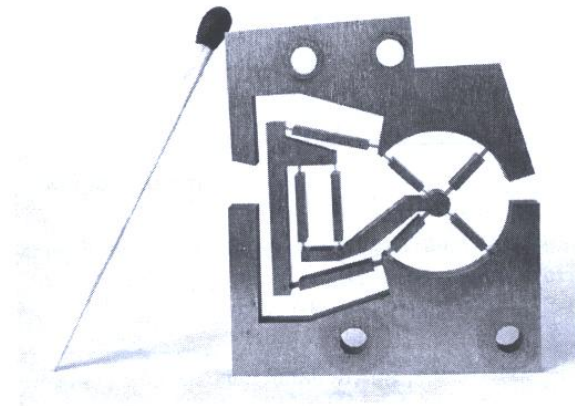
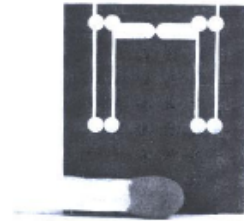
Bon guidage, mais problèmes de dynamique non-contrôlable  
et non-observable

S.T. Smith, D.G. Chetwynd  
"Ultraprecision Mechanism Design"  
Gordon & Breach 1992



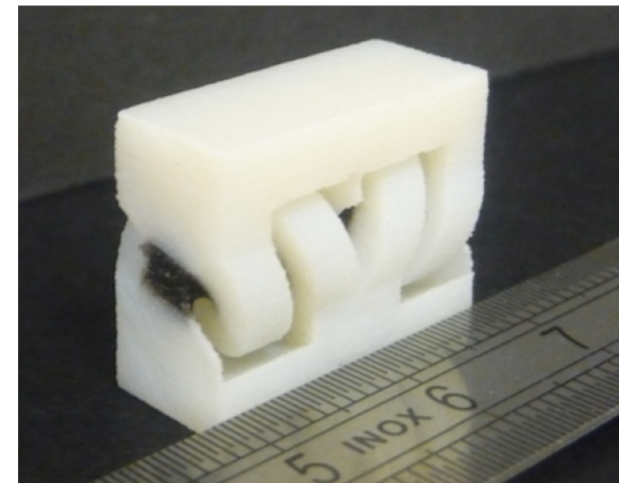
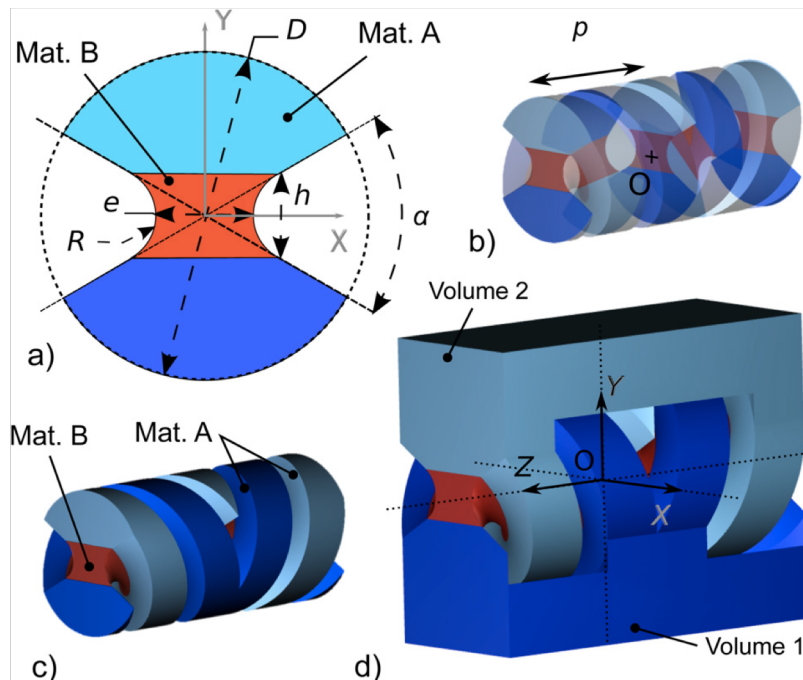
# Linear and rotational flexures hinge mechanisms

- No dry friction
- No wear
- No backlash



# Flexure hinges in Multi-Material Additive Manufacturing

- Multi-Mat.-Ad.Manuf. by PolyjetV® (Stratasys, USA) or AKF® (Arburg, Germany) processes
- manufacturing of functional parts in FDM (Fused Deposition Modeling)

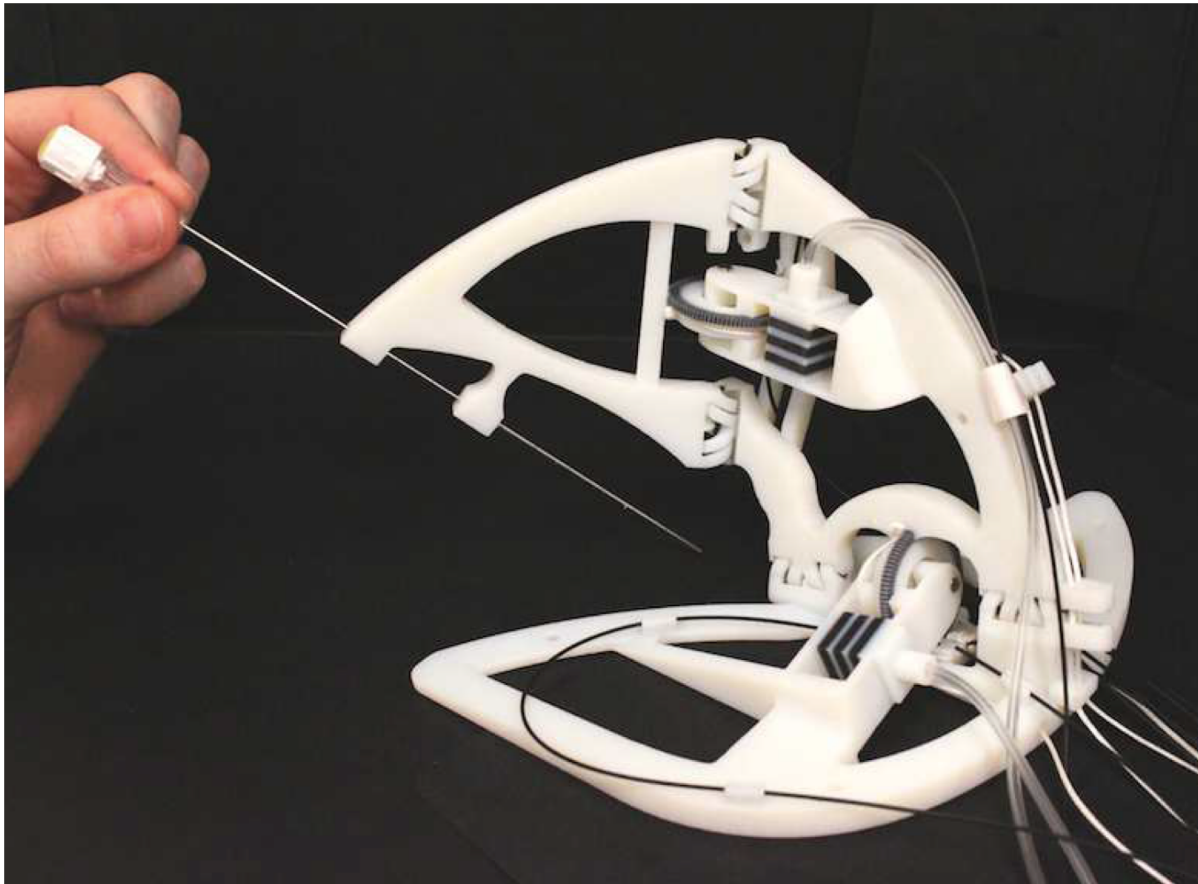


up to  $\pm 30^\circ$  ,  $40^\circ$  ,  $50^\circ$  ...

A. Bruys, F. Geiskopf, P. Renaud,  
 INSA Strasbourg  
 « Design and Modeling of a Large  
 Amplitude Compliant Revolute Joint:  
 The Helical Shape Compliant Joint »

DOI: 10.1115/1.4030650

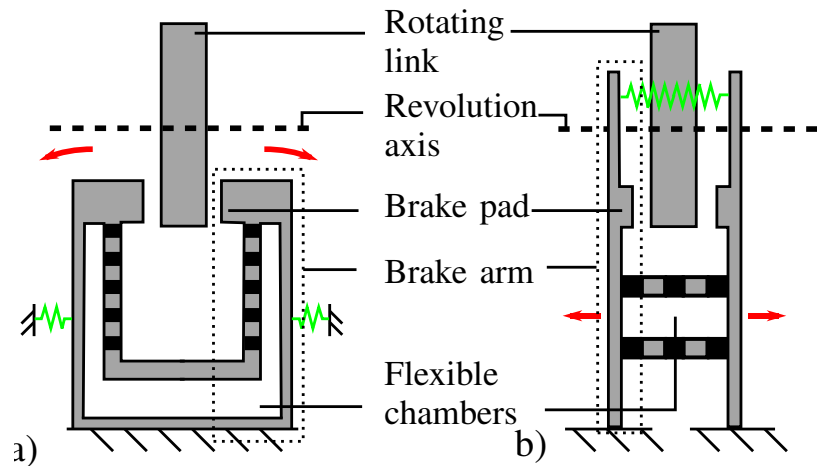
## Un robot complet en fabrication additive





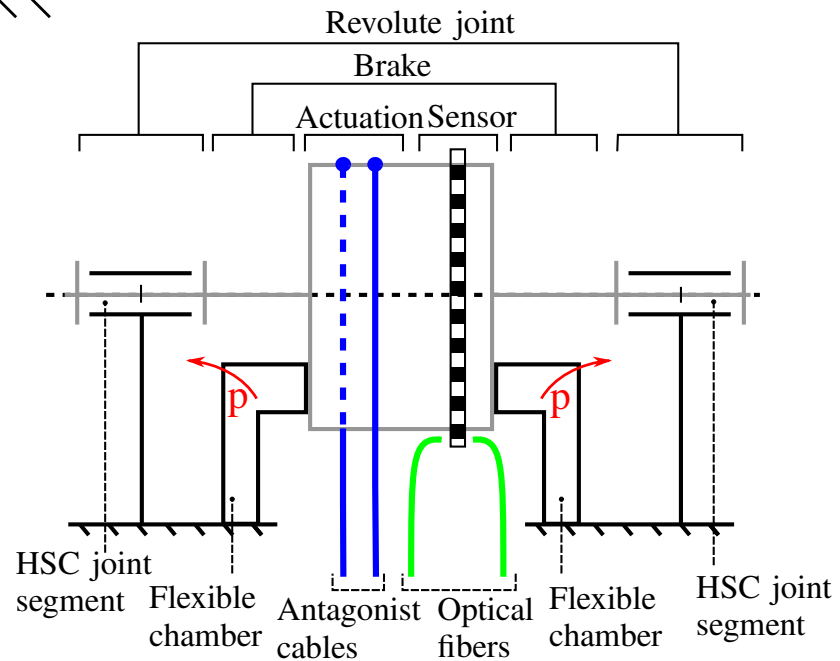
# Freins, Capteurs

2015 IEEE/RSJ International Conference on Intelligent Robots and Systems (IROS)



- Movement when the chambers are pressurized
- Pre-stress system
- Rigid material
- Elastomer material

Toward Unibody Robotic Structures with Integrated Functions using Multimaterial Additive Manufacturing: Case Study of an MRI-compatible Interventional Device  
 Arnaud Bruyas, Francois Geiskopf and Pierre Renaud  
 CNRS, INSA Strasbourg



## 2 Principes de Micro-Actionneurs

- Moteurs électriques
- Déformation de matériaux
  
- Eviter des assemblages
- Compatibilité avec technologies de microsystemes (MEMS, micro-electro-mechanical-systems)

Recherche de principes par **déformation de matériaux**

Les **effets d'échelles** favorisent les forces **électrostatiques** par rapport aux forces magnétiques

# Petits moteurs électriques

- Des petits moteurs auront un rendement acceptable qu'avec de hautes vitesses

→ Besoin de réducteurs  
(Planétaire = épicycloïde)

A plusieurs étages. Rapport de réduction par ex. 5 à 10 par étage, 3 ou 4 étages pour des rapports de réduction entre 100 et 1000

## Exemple Minimotor (Groupe Faulhaber)



BLDC

Brushless DC motor

$\varnothing = 3\text{mm}$ ,  $L = 8\text{mm}$

60'000 rpm

couple

0.02 mNm @ 15'000 rpm

puissance sortie max ~ 40 mW

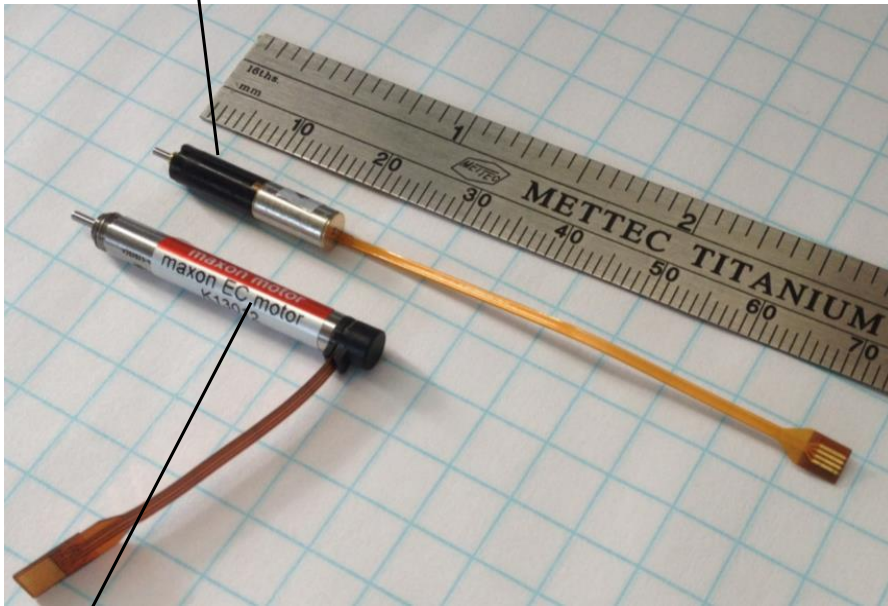
rendement 17%

Jeu (backlash) 0.03 mm radial

0.15 mm axial

# 4mm geared motors

Namiki  
337:1, no  
encoder



Maxon 280:1, 0.5W,  
with encoder

Namiki 337:1,  
with encoder

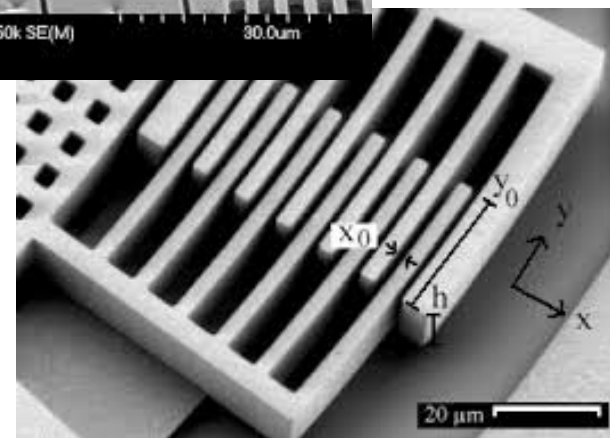
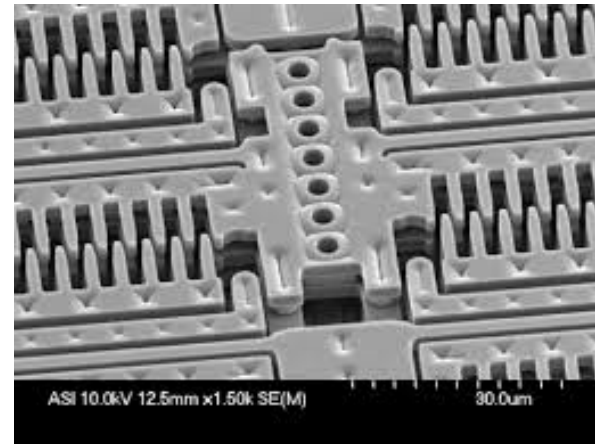
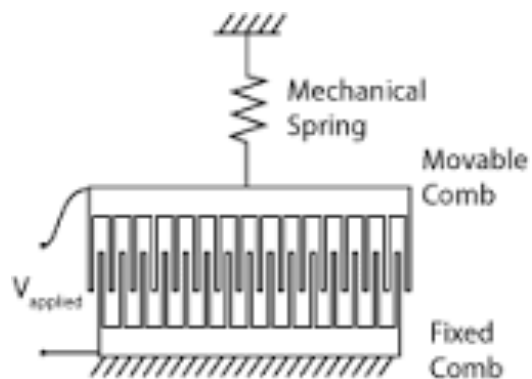


# Electrostatic motors, Electrostatic actuators

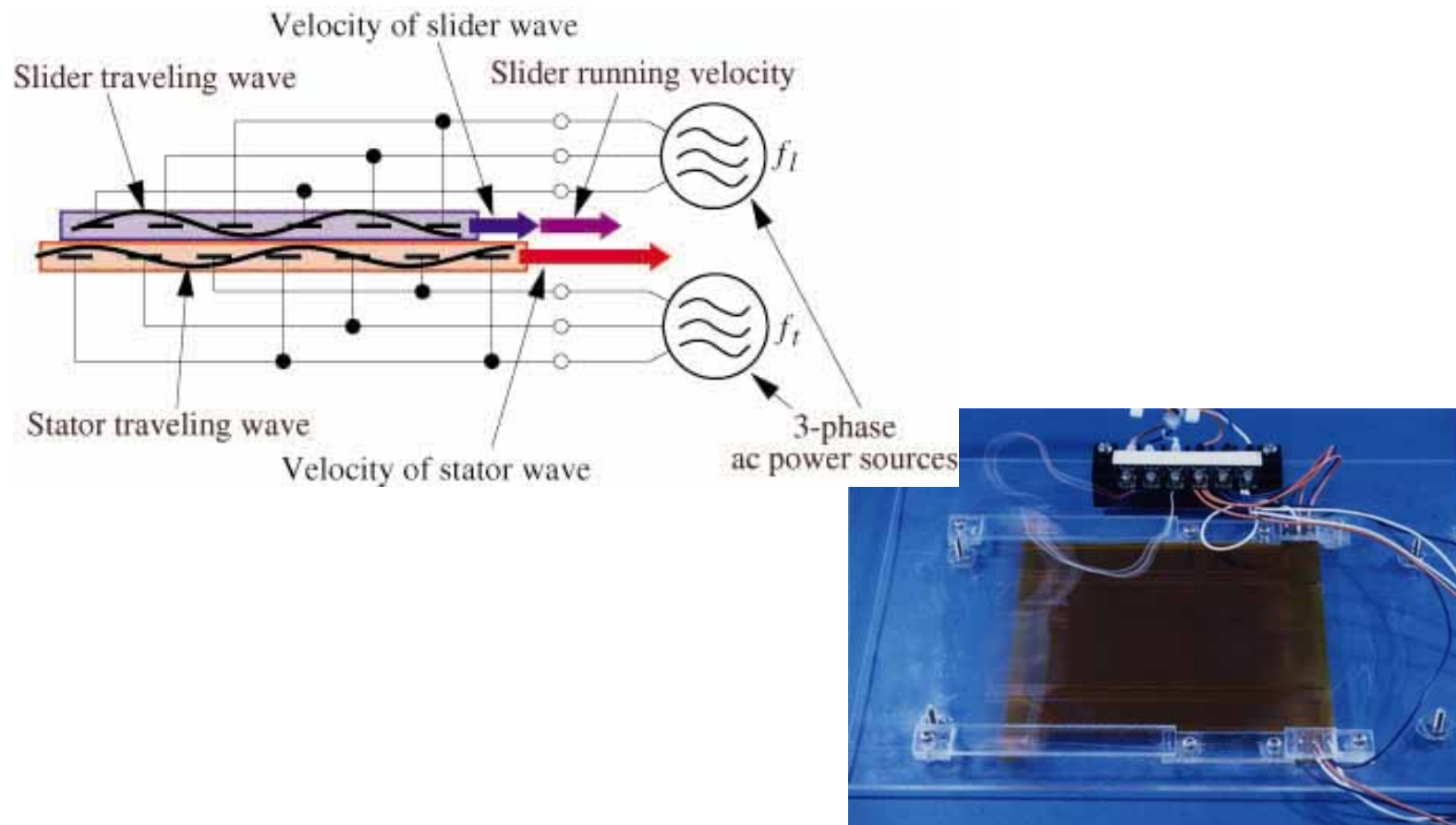
- Standard for MEMS: Comb-drive
- Exotic: Electrostatic high-power actuators
- Electrostatic glass motor

# The “standard” MEMS actuator: Comb drive

- Compatible with MEMS technologies
- simple structure,  
good efficiency at  
MEMS scale



# Exotic: Electrostatic high-power actuators





## **5.12.1. Déformation de matériaux**

1. Dilatation thermique
2. Alliages à mémoire de forme (SMA, Shape Memory Alloy)
3. Piezo-électricité
4. Electro- & magnétostriction
5. Polymères électroactifs

1. Dilatation thermique
2. Piezo-électricité
3. Electro- & magnétostriction



- *Déformation: très faible*
- *Grandes forces*

1. SMA

- *Déformation: (très) grande*
- *Force: « moyenne »*

2. Polymères électroactifs

- *Déformation petite jusqu'à grande*
- *Forces faibles*

*A compact mechanism is intrinsically more accurate than a large system!*

*A compact design offers also a higher thermal stability:*

*Thermal expansion:  $\Delta l = \alpha * l * \Delta \theta$*

*eg. a 40 mm rod in steel will expand **480 nm** per **degree C***

*The material must be chosen carefully:*

<i>materials</i>	<i><math>\alpha 10^{-6} K^{-1}</math></i>
<i>steel</i>	12
<i>aluminium</i>	24
<i>Invar*</i>	1.5
<i>Polymers**</i>	60 to 200

<i>materials</i>	<i><math>\alpha 10^{-6} K^{-1}</math></i>
<i>glass</i>	9
<i>silicon</i>	2.8 to 7.3
<i>zerodur</i> (Li Alumino-silicate glass)	0.02 to 0.1

*\* Fe-Ni36%, prix Nobel suisse 1920 Charles Edouard Guillaume*

*\*\* PVC, POM, PMMA ...*

# Actionneurs thermique

Utilisation directe

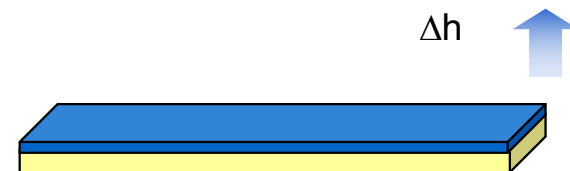
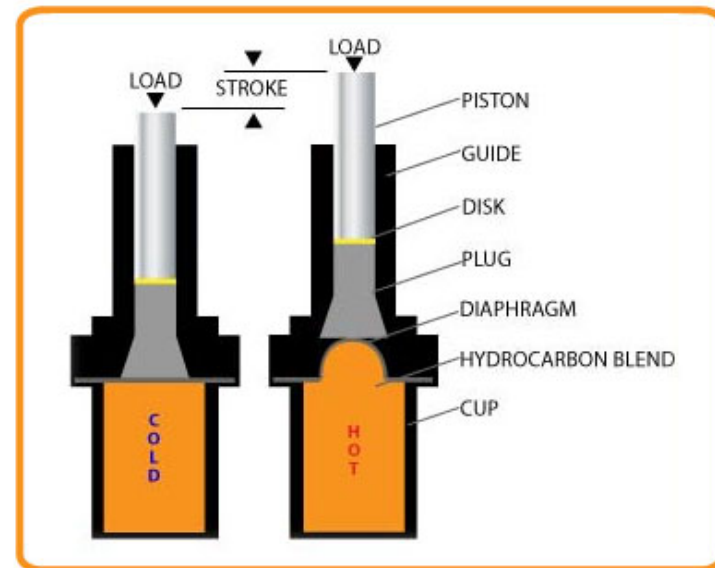
ou

**Amplification par bilame  
(principe bimorphe)**

**Thermal bimorph, bilayer**

Exemples

- Thermostat (fer à repasser, raclette)
- Thermomètre
- Choke automatique
- Balancier et pendule de montre et d'horloge



Deux métaux à coef. de dilatation différents.

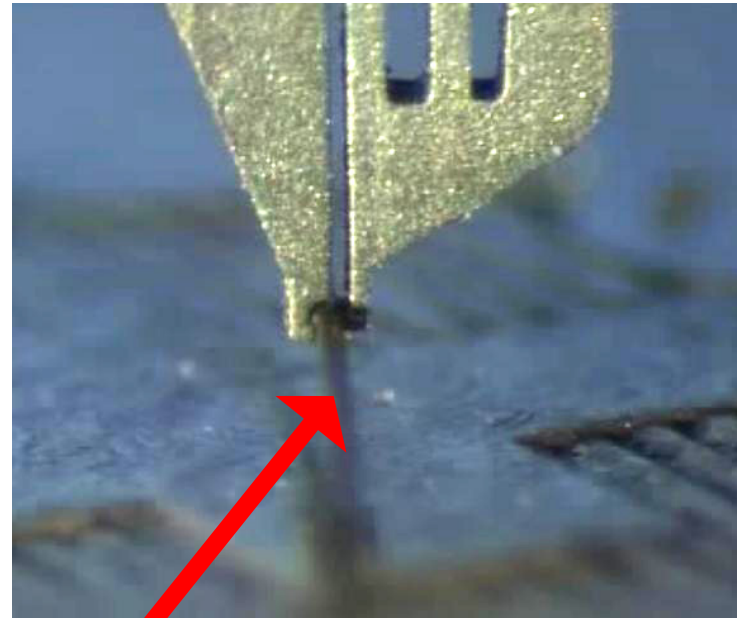
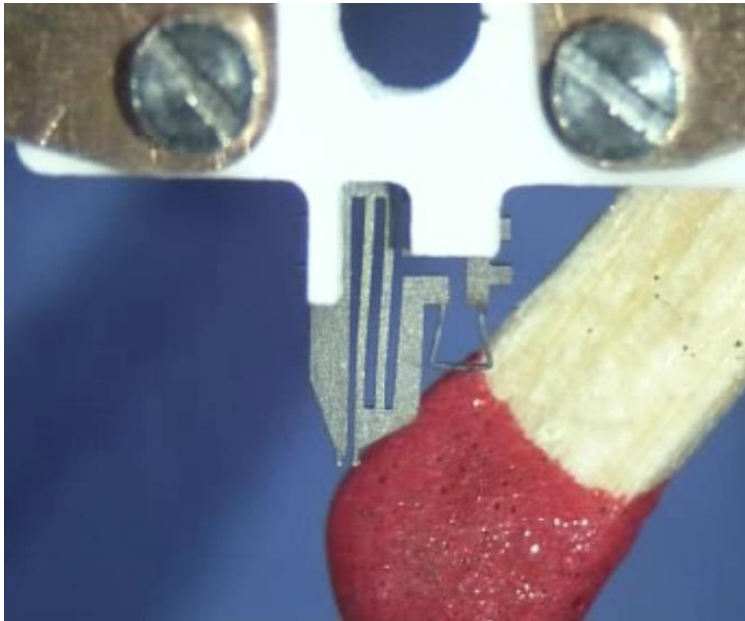
# Shape Memory Alloys (SMA)

(Alliages à mémoire de forme AMF)

- Ni-Ti alloys
- Change from Austenite to Martensite structure at small temperature differences (around room temp.)
- Large deformation
- Hyper Elasticity
- Many applications



# SMA microgripper



**Human hair**

# Électrostriction

- Peu utilisés
- Proche des Piézoélectrique (infra)
- $\sim 0,01\%$ . @ 100V
- Usinage plus facile que Piézocéramiques

# Magnétostriction

- Déformation induite par champ magnétique
- Pas de contacts électriques
- Coûteux (terres rares)
- Hystérèse, dérive (drift)
- Exemple: Terfenol  $1,6 \mu/\text{cm}$ .



# Piezoelectric Actuators

# Piezo-électricité

πιέζειν piezein = presser

Jacques et Pierre Curie, 1880

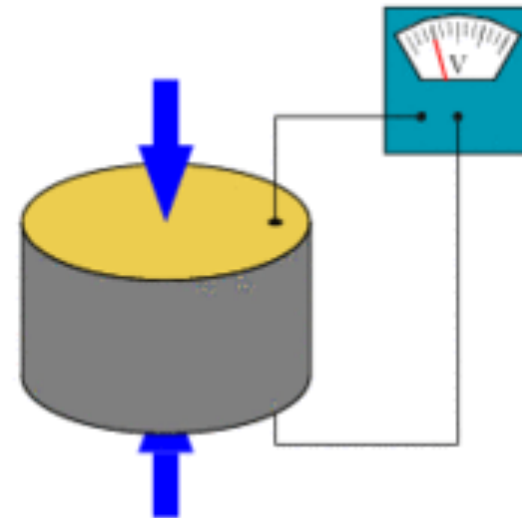
Quartz, minéraux

Après 1945

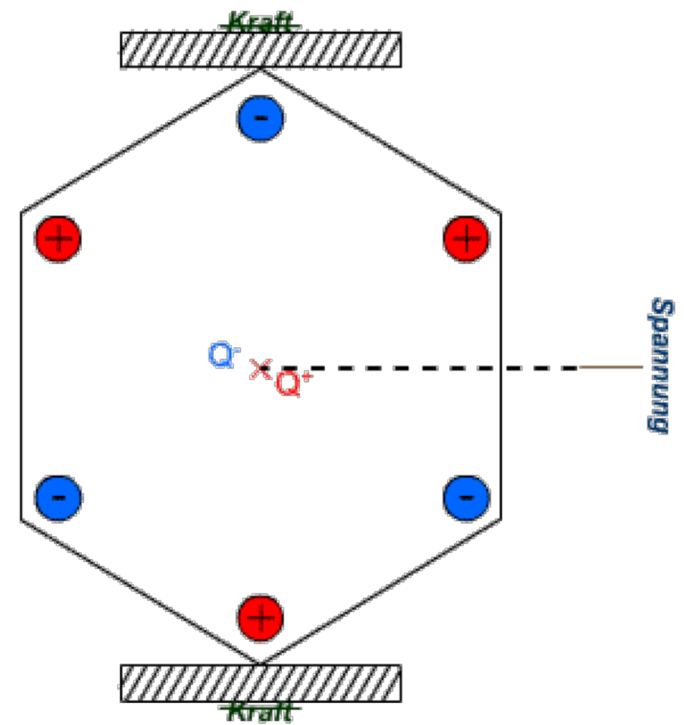
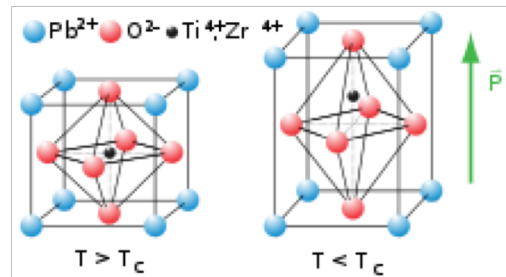
PZT

Plomb-Zirconium-Titanate  
et beaucoup d'autres

(compatibles MEMS,  
pour filtres etc)



# Piezoelectric Actuators: Basics



Tenseur piezoélectrique:

E = champ électrique      D = Polarisation  
 S = Déformation (strains)    T = Contraintes (stresses)

	$T_1$	$T_2$	$T_3$	$T_4$	$T_5$	$T_6$	$E_1$	$E_2$	$E_3$
$D_1$	0	0	0	0	$d_{15}$	0	$\epsilon_{11}$	0	0
$D_2$	0	0	0	$d_{15}$	0	0	0	$\epsilon_{11}$	0
$D_3$	$d_{31}$	$d_{31}$	$d_{33}$	0	0	0	0	0	$\epsilon_{33}$
$S_1$	$s_{11}$	$s_{12}$	$s_{13}$	0	0	0	0	0	$d_{31}$
$S_2$	$s_{12}$	$s_{11}$	$s_{13}$	0	0	0	0	0	$d_{31}$
$S_3$	$s_{13}$	$s_{13}$	$s_{33}$	0	0	0	0	0	$d_{33}$
$S_4$	0	0	0	$s_{44}$	0	0	0	$d_{15}$	0
$S_5$	0	0	0	0	$s_{44}$	0	$d_{15}$	0	0
$S_6$	0	0	0	0	0	$2(s_{11}-s_{12})$	0	0	0

Céramique:      résistance à la compression  
                         mauvais en traction  
   →      pré-  
contrainte

Déformation en      - cisaillement ou en  
   - traction/compression

(Matrice des coefficients piézo-électrique, pas  
traîtée dans ce cours!)

# Hystérèse et fluage du piezo

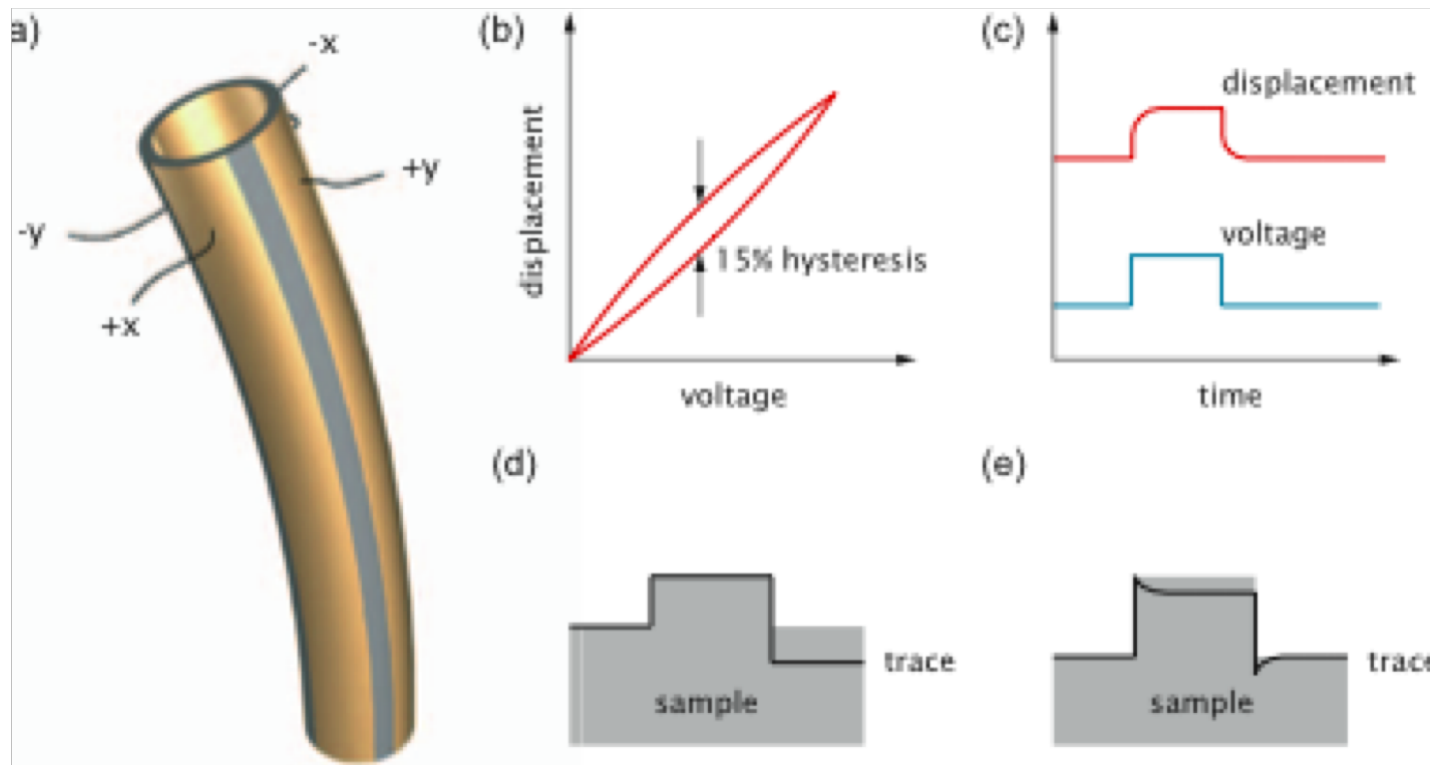


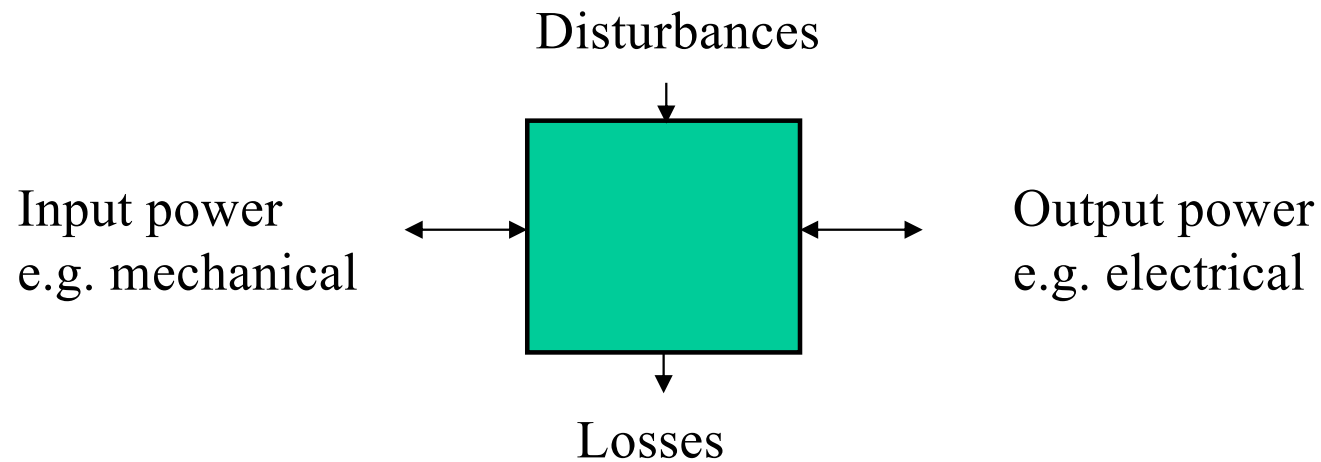
Fig. 2.12. (a) A piezo tube scanner [18] (b) hysteresis, (c) creep, and their respective influences

L'effet piézoélectrique fonctionne dans les **deux** sens

**él. → méc.**

**&**

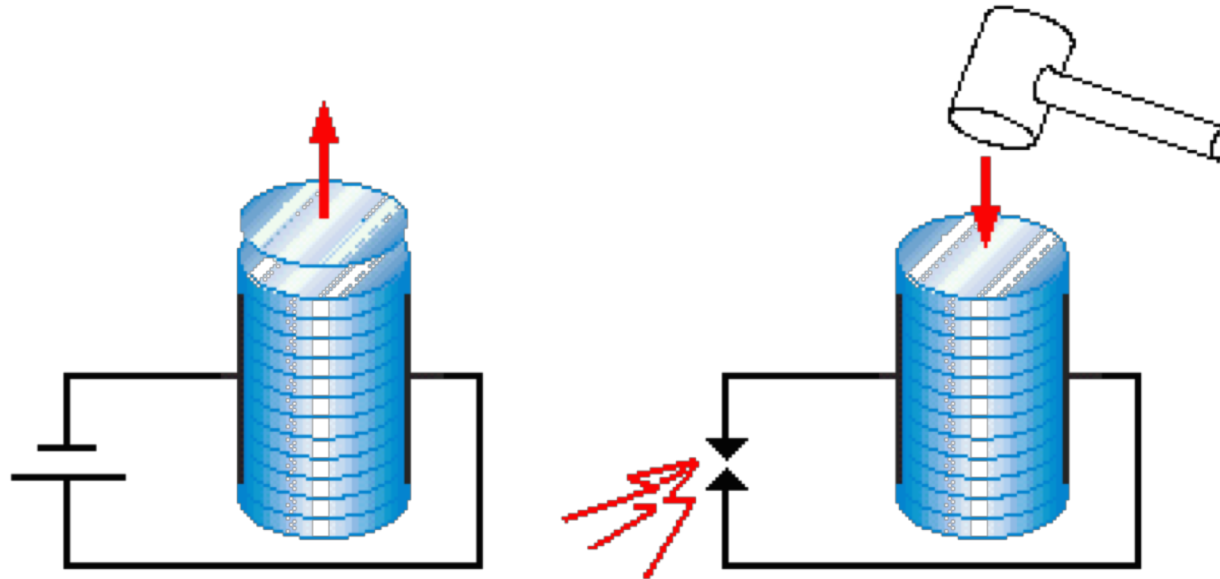
**méc. → él.**



**Il s'agit d'un TRANSDUCTEUR**

Travaille en actionneur ou en capteur

# Piezoelectric actuators :



Piezo as an **actuator**:  
charge  $\rightarrow$  strain  $\rightarrow$  stress

Piezo as a **sensor**:  
stress  $\rightarrow$  strain  $\rightarrow$  charge



# Piezoelectric materials

- quartz (weak)
- salt (very weak)

polycrystalline ferroelectric ceramics:

- BaTiO<sub>3</sub>,
- Lead Zirconate Titanate (PZT)

# Basic mechanism:

Stress  $\rightarrow$  strain  $\rightarrow$  charge

- Also charge  $\rightarrow$  strain (actuator)
- complex geometry  
(polarisation direction, strain tensor, shear...)
- small displacements, high forces, high voltages  
( $\mu\text{m}$  to tens of  $\mu\text{m}$  for cm size PZT, 100s of Volt)
- nonlinearity, hysteresis
- Ceramics  $\rightarrow$  brittle  $\rightarrow$  prestress

# Mécanisme piezo-électrique

Le point de vue « transducteur » révèle:

La déformation est proportionnelle non à la **tension**, mais à la **charge**

(Capteurs e.g. Kistler: « **Charge amplifier** »)

Dans le **schema électrique**, l'élément piézo est représenté par une **capacité**

## Déformation faible: 0.015% @ 100V

Ex. PZT            Longueur            10 mm  
                         Déformation de 1.5 $\mu$ m (!)

Donc l'application de piezo sera très souvent  
intégré avec un principe **d'AMPLIFICATION**  
du **mouvement**

# Principes d'amplification de mouvmt.

Stack (empilement)

Bimorphe

« Genouillère »

Stick-Slip

Impact-drive

Inch-Worm

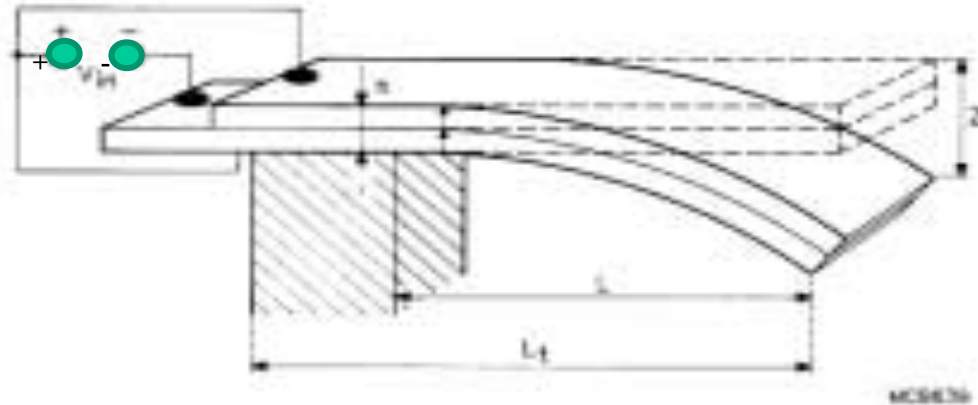


*Techniques « pas à pas », déplacement en principe infini*

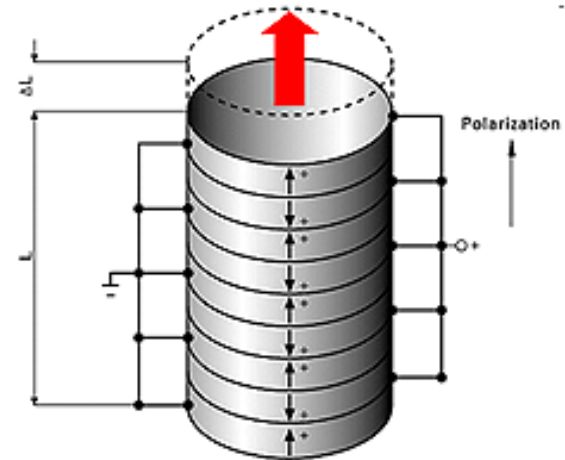
Levier

# Principe bimorphe

- Bimétal thermique classique (régulateur « rechaud raclette »)
- S'applique à tous les actionneurs à faible déformation
- Deux piézos en différentiel ou piézo et matériau neutre



# Principe de la « pile » piezo multi-couche « stack »

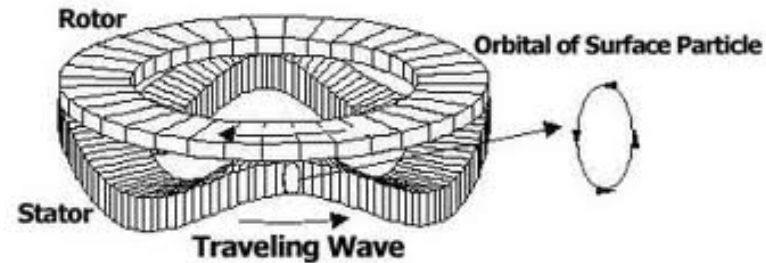


**Empiler** des couches, épaisseurs entre 0.2 et 1 mm,  
connectées électriquement en parallèle

déformations de l'ordre de **0.1%** à 100V (**10 μm @ 10 mm**).

relativement coûteux (~80 CHF pour un actionneur de 10\*5\*5 mm<sup>3</sup>)

## Moteurs Ultrasoniques (Piezoelectric motors)



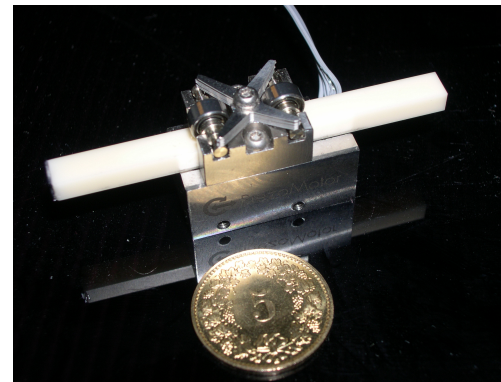
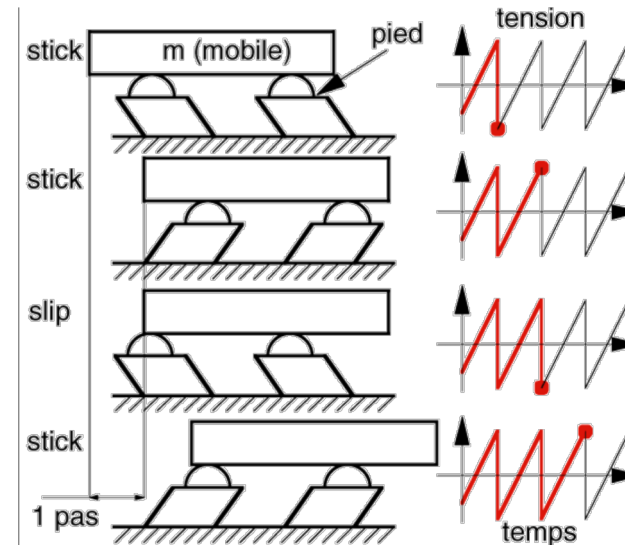
- Disques en contact
- Onde stationnaire sur le stator, induite par piezo-électricité
- Fréquences typiquement de l'ordre de 20 à 60 kHz
- Couple puissant
- Positionnement précis
- Application typique: Auto-focus de caméras
- Beaucoup de variante, de producteurs
- Vidéos: Principe ondes stationnaires, Noliac



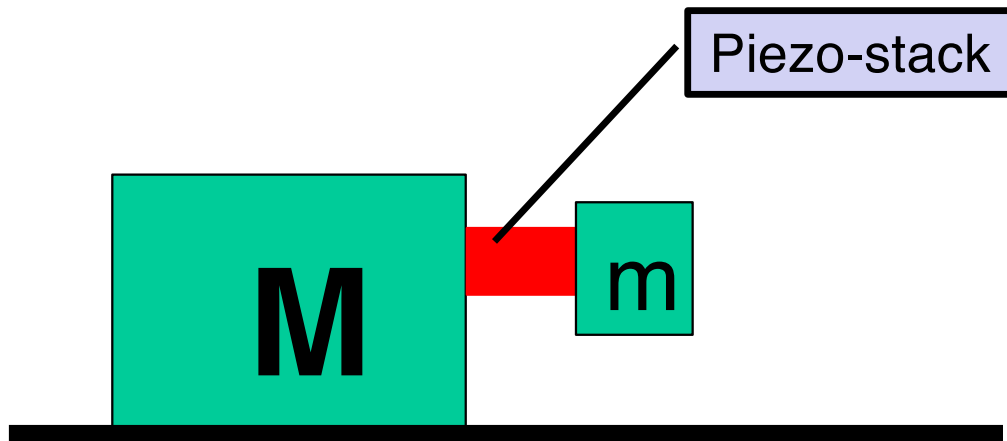
# Stik-Slip principle

**Combines high resolution with long motion range**

- Haute résolution (nm)  
Longues courses (cm)
- Simplicité (mécanique, électrique)
- Vitesses (nm/s – mm/s)
- Force (1-2 N)

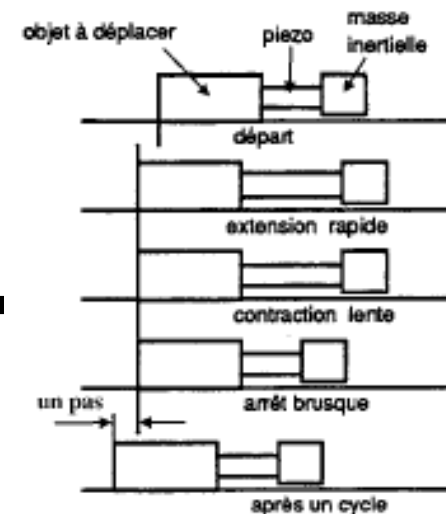


# Impact-Drive:



Series of impacts for incremental motion  
low precision per step, low power

Adhesion and robustness can be improved  
e.g. by permanent magnets.

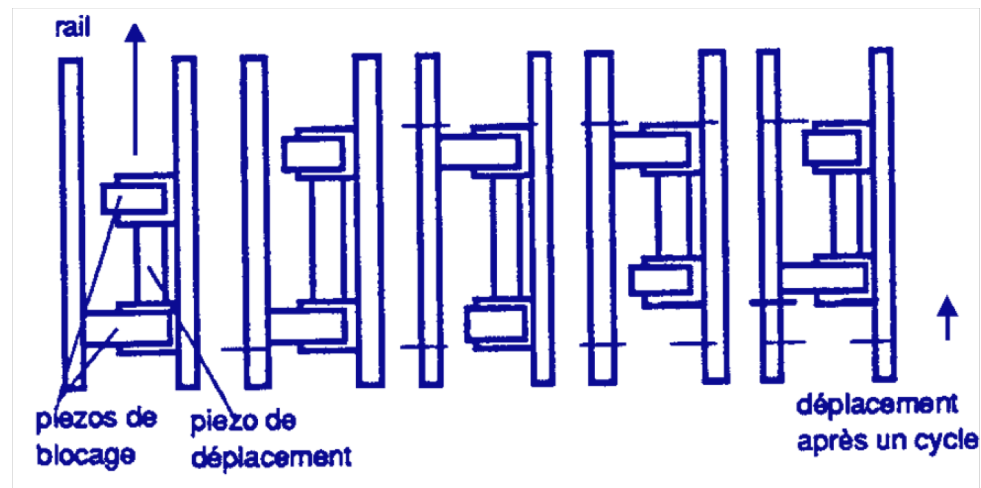


# Inch-worm

inspiré du mode de déplacement d'un ver (worm)

1. Une des extrémités est **bloquée**, le système **s'allonge**. L'autre extrémité est à son tour bloquée.

2. La première est alors **débloquée** et le système **se contracte**.

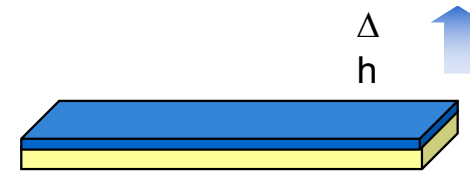
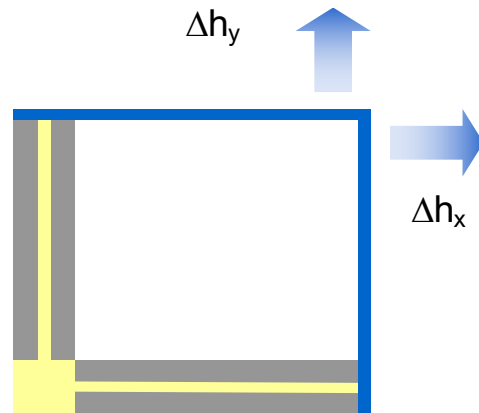


- + **force d'entraînement élevée.**
- + **excellente résolution**
- **Exige usinage très précis → Cher!**

---

## Principe « bimorphe »

---



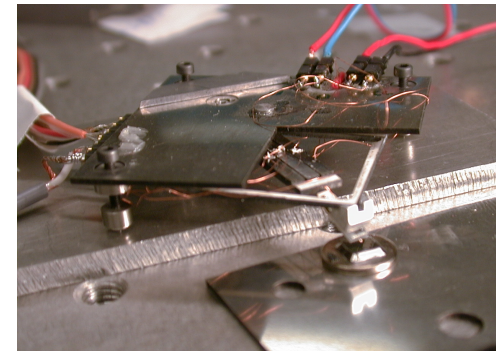
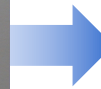
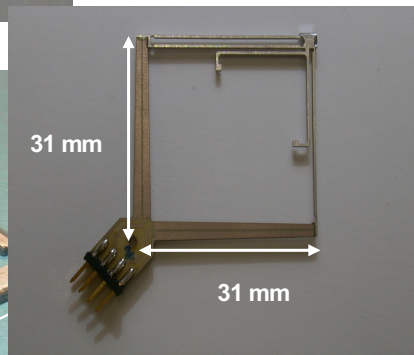
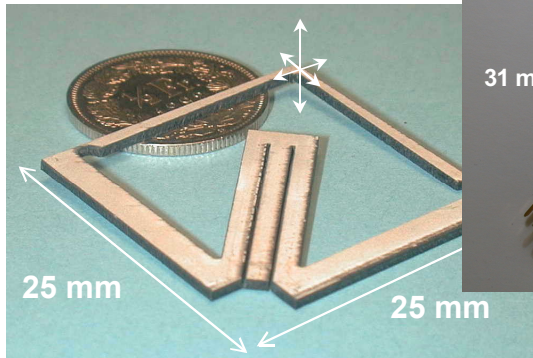
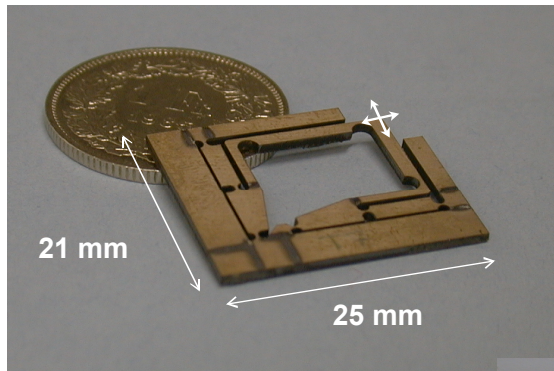
 Piézocéramique  
e

 Piézo avec  
Electrode

 Matériau non PZT

(Ashwin Lal, LSRO)

# Exemples

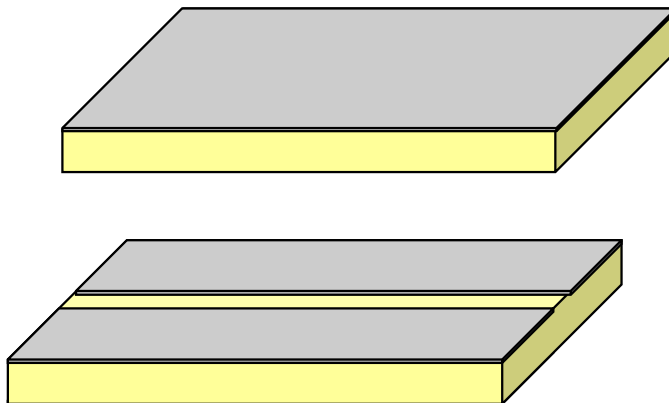


**AFM complet**  
**(Ashwin Lal, LSRO)**

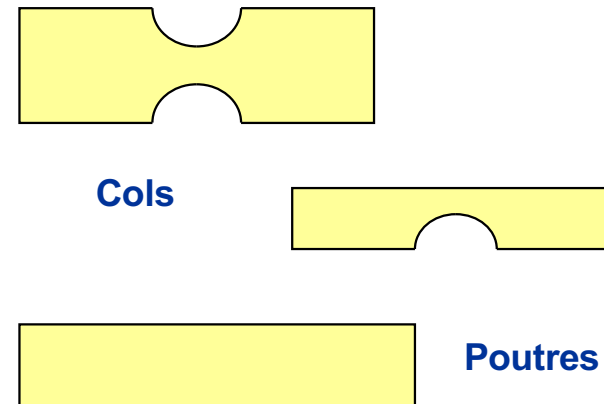
# Effet « genouillère »

Deux parties différentes dans une même structure  
(Thèse Ricardo Perez, LSRO)

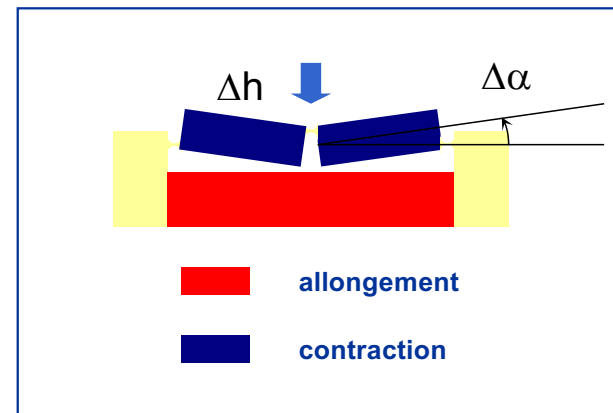
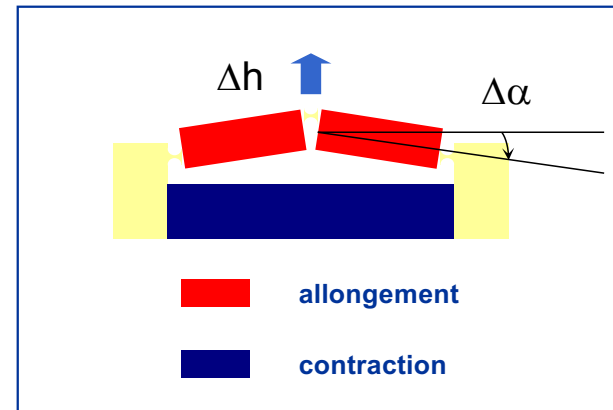
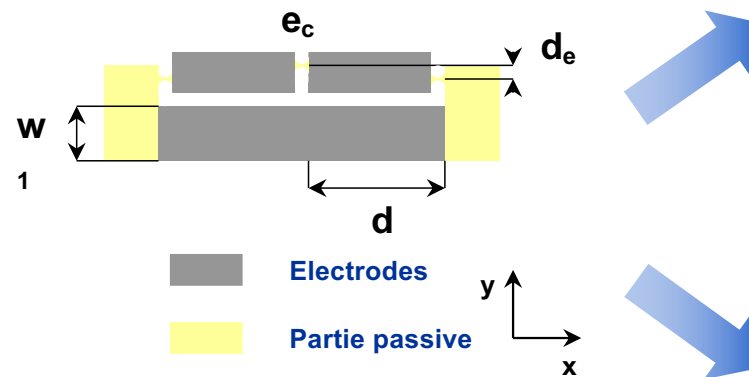
*Parties actives*



*Parties passives*

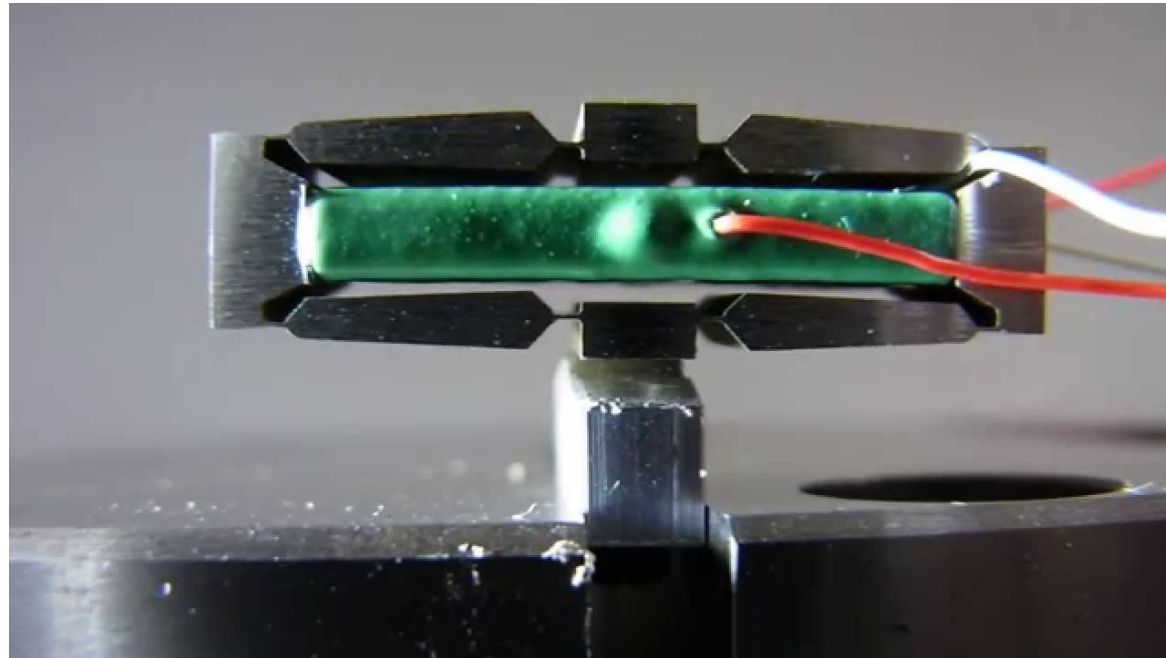


## Amplification par effet « genouillère » (offset $d_e$ des cous élastiques)



Jean-Marc Breguet  
LSRO

Quelques exemples...





Quelques exemples...

## Example de PiezoMotor (Groupe Faulhaber)

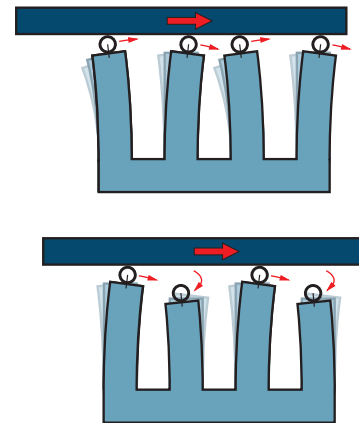


Piezo LEGS® Linear 6N



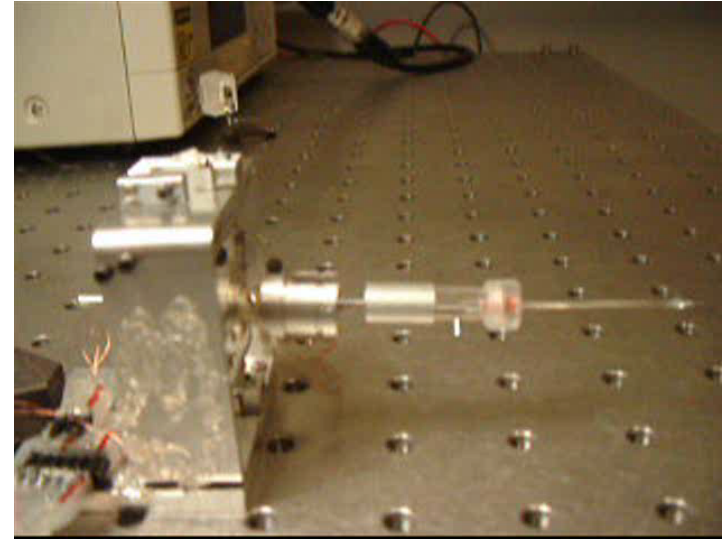
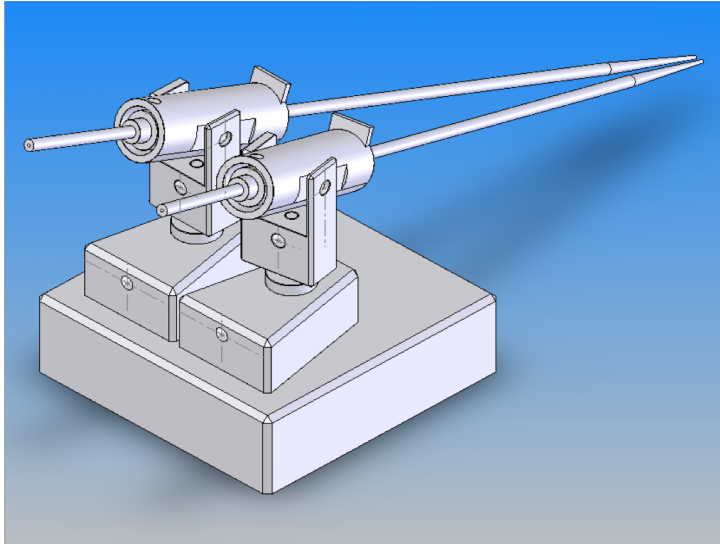
Drive rods 30 – 100 mm

- **Direct drive - backlash free**
  - **Nanometer resolution**
  - **Simple drive electronics**
  - **No power draw in hold position**
  - **Quick response and high speed**
- Standard version, stainless steel  
Non-magnetic version  
Vacuum version, non-magnetic



In analog bending mode or with higher resolution D/A converter it is possible to position in the sub nanometer region.

# Piezotube – Impact drive: 3 DoF Micromanipulator

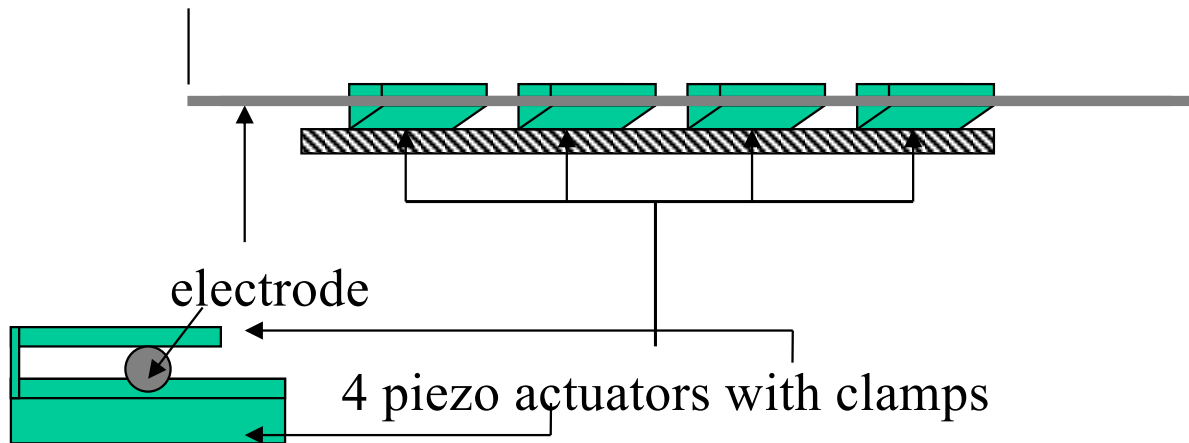


prototype

- 3DoF
- Several cm<sup>3</sup> workspace
- Nanometer resolution
- Low production cost
- Extremely simple

# Walking mechanism (Electrode-feeder) patented by AGIE

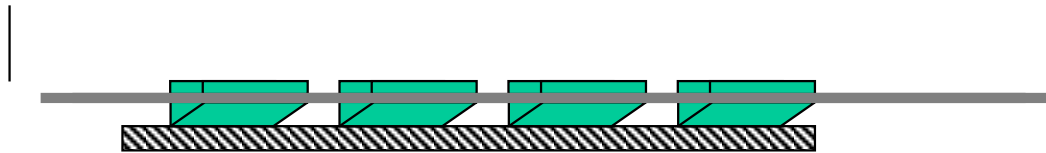
Working principle



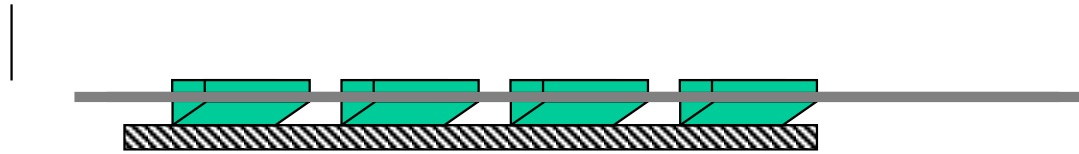
Front view

# Walking mechanism (Electrode-feeder) patented by AGIE

Working principle

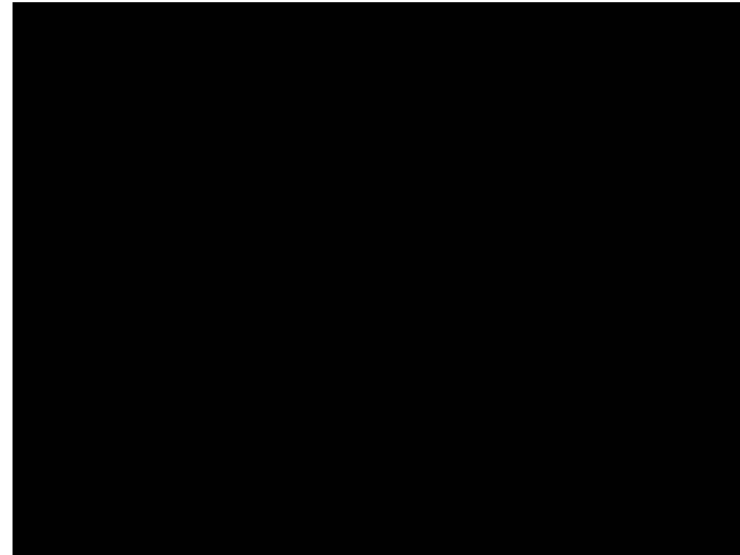


# Electrode-feeder breveté par AGIE



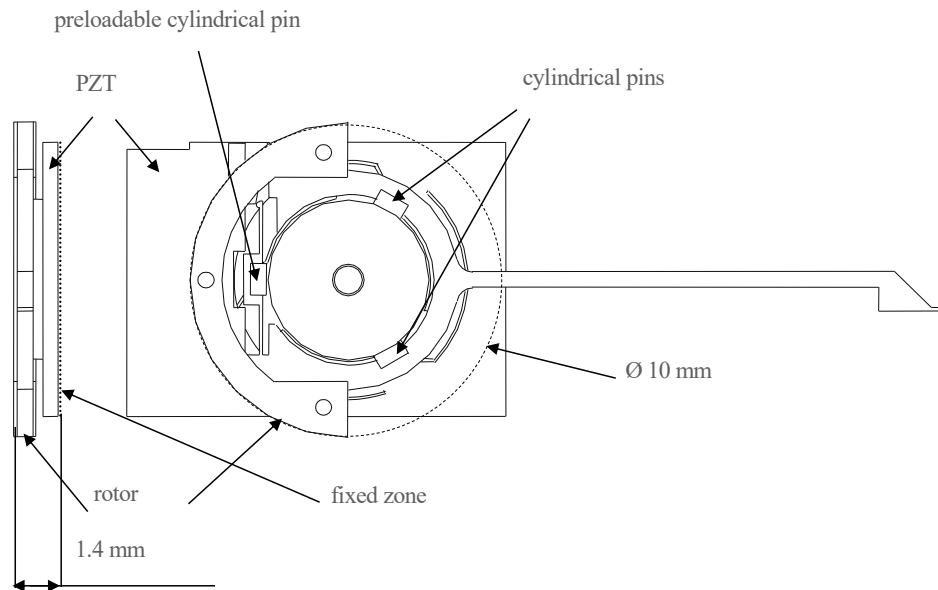
# Walking mechanism (Electrode-feeder) patented by AGIE

[piezotube\\_longrange.wmv](#)



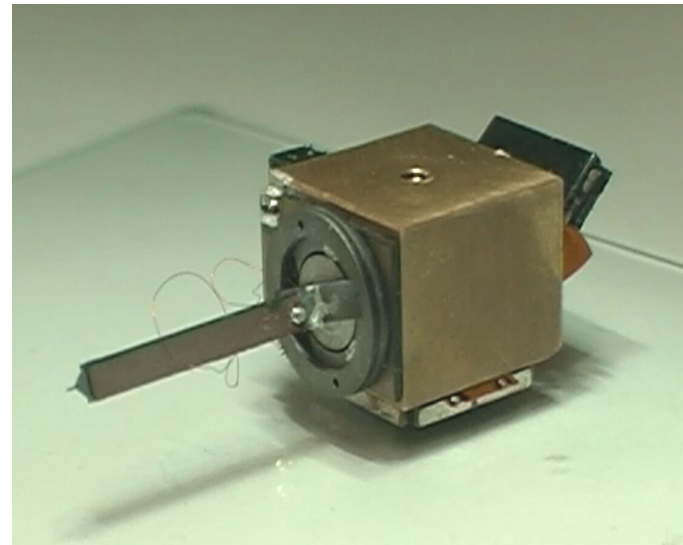
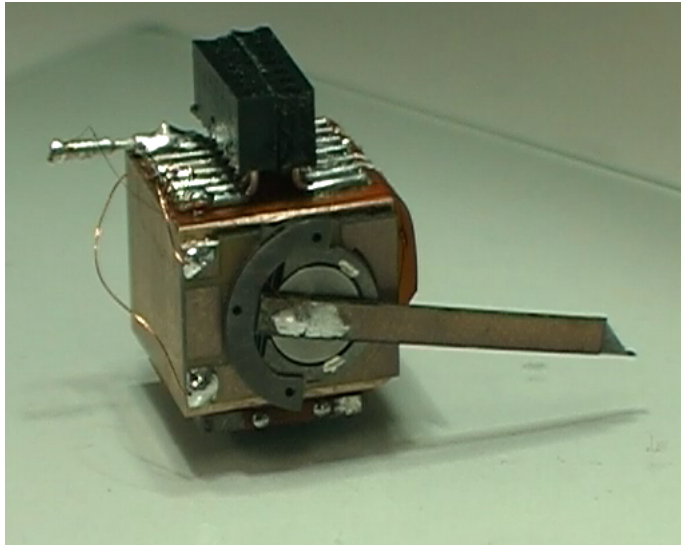
- Velocity: 1 mm/s
- Resolution: 50 nm
- Force: 500 mN
- Electrode diameter: 50 to 1500  $\mu\text{m}$
- Dimension: 30 x  $\text{\O}12$  mm

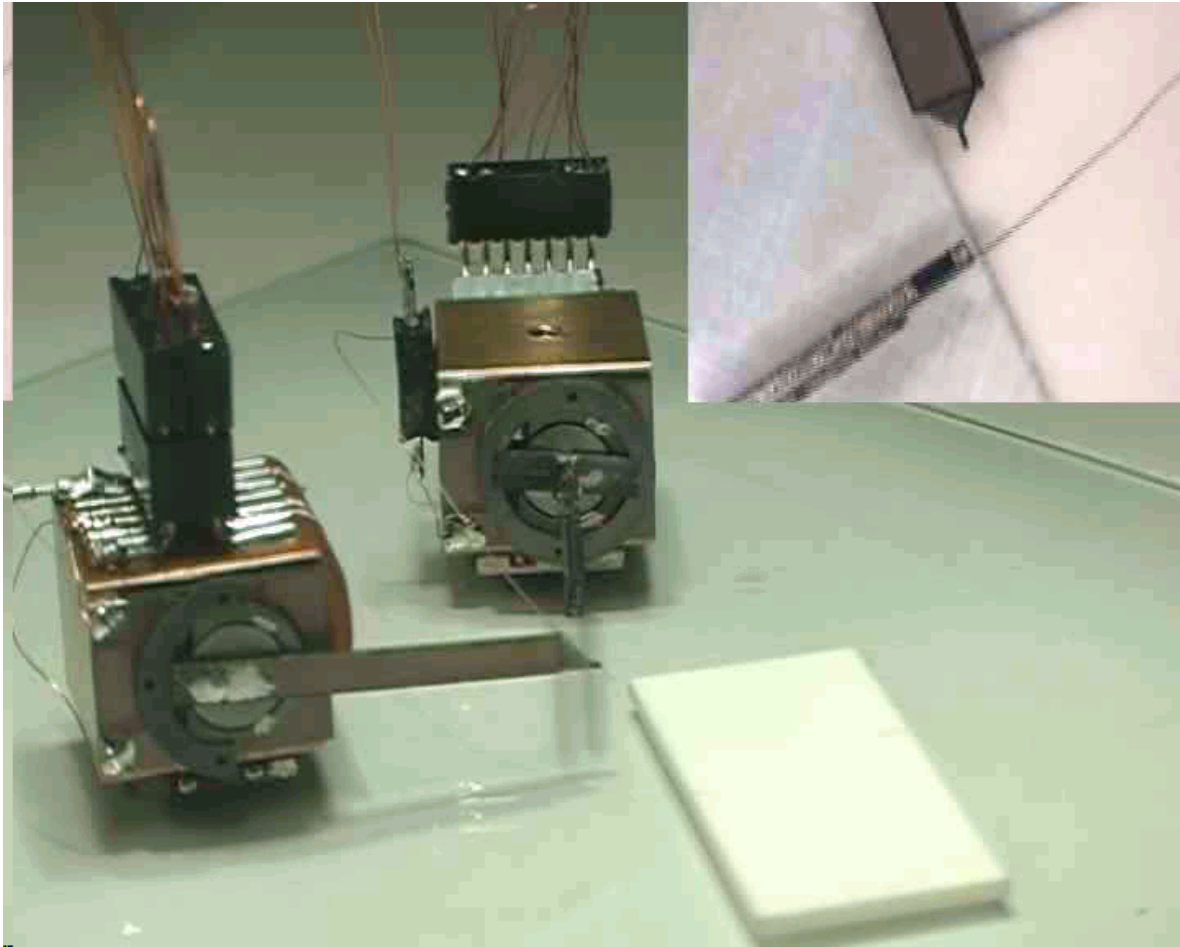
# Actionneur rotatif (stick-slip) avec micro-pince intégrée (piezo monomorphe)



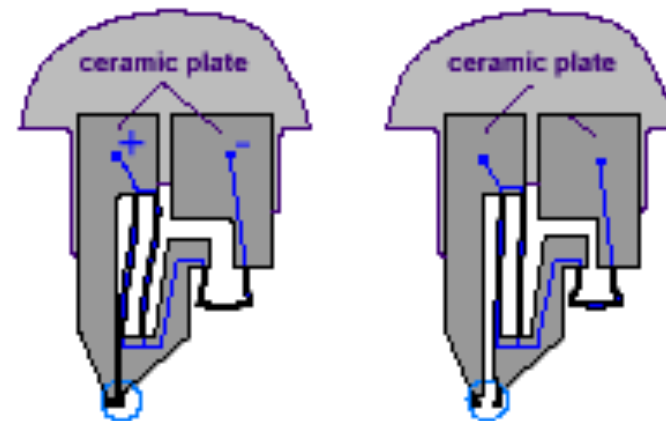
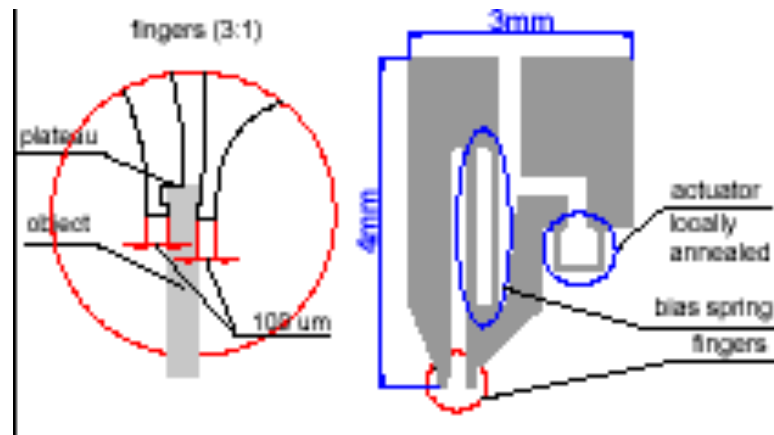


# Microrobots 1 cm<sup>3</sup>



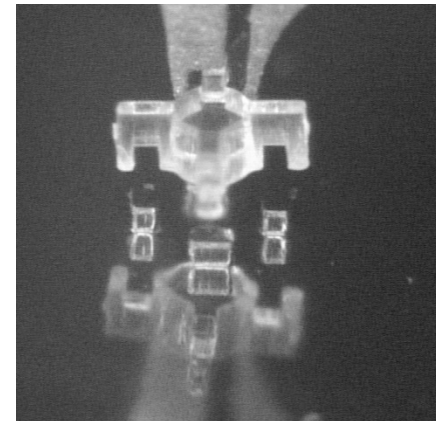
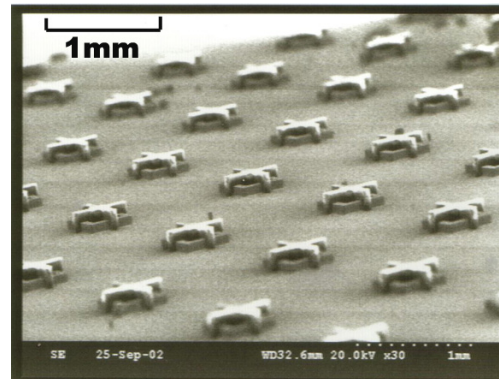
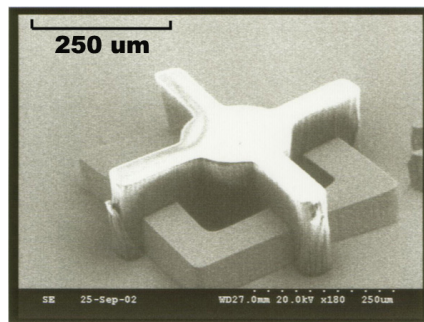


# Gripper design



# Application example of Shape Memory Alloys (SMA)

(Thèse EPFL Yves Bellouard)



Automated assembly of microparts  
for tissue engineering

# “Unconventional” actuators for grippers

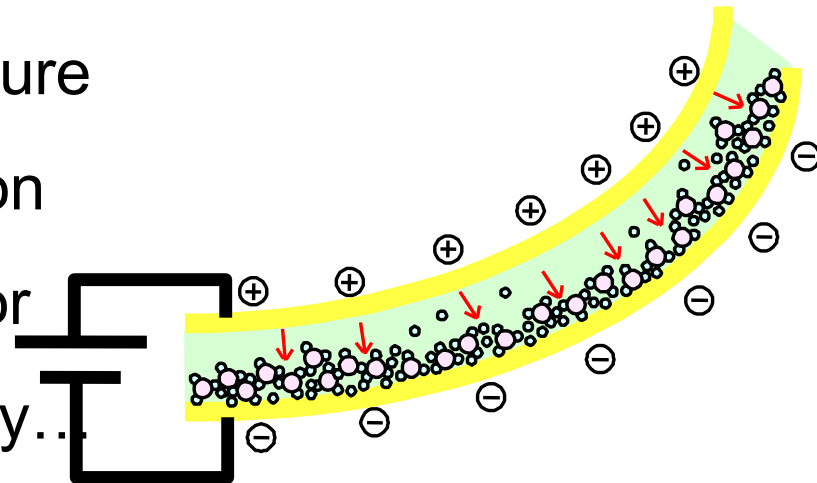
- Gripping by capillary force
- by electrostatic force (e.g. for contact-free handling)
- by freezing liquid
- by thermoplastic glue
- by air flow (for contact-free handling)

# Ionic Polymer-Metal Composite IPMC Electroactive polymer

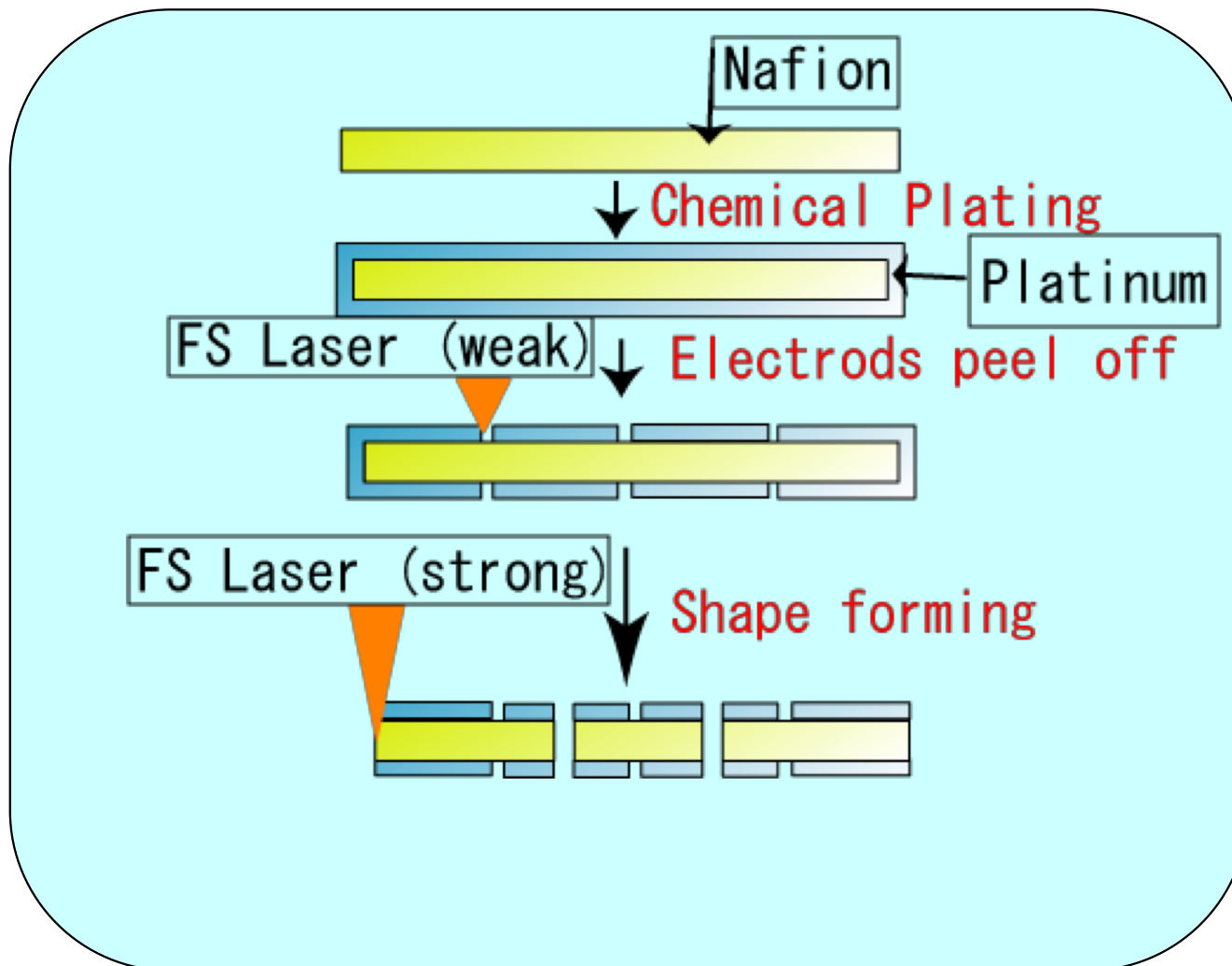
## Material

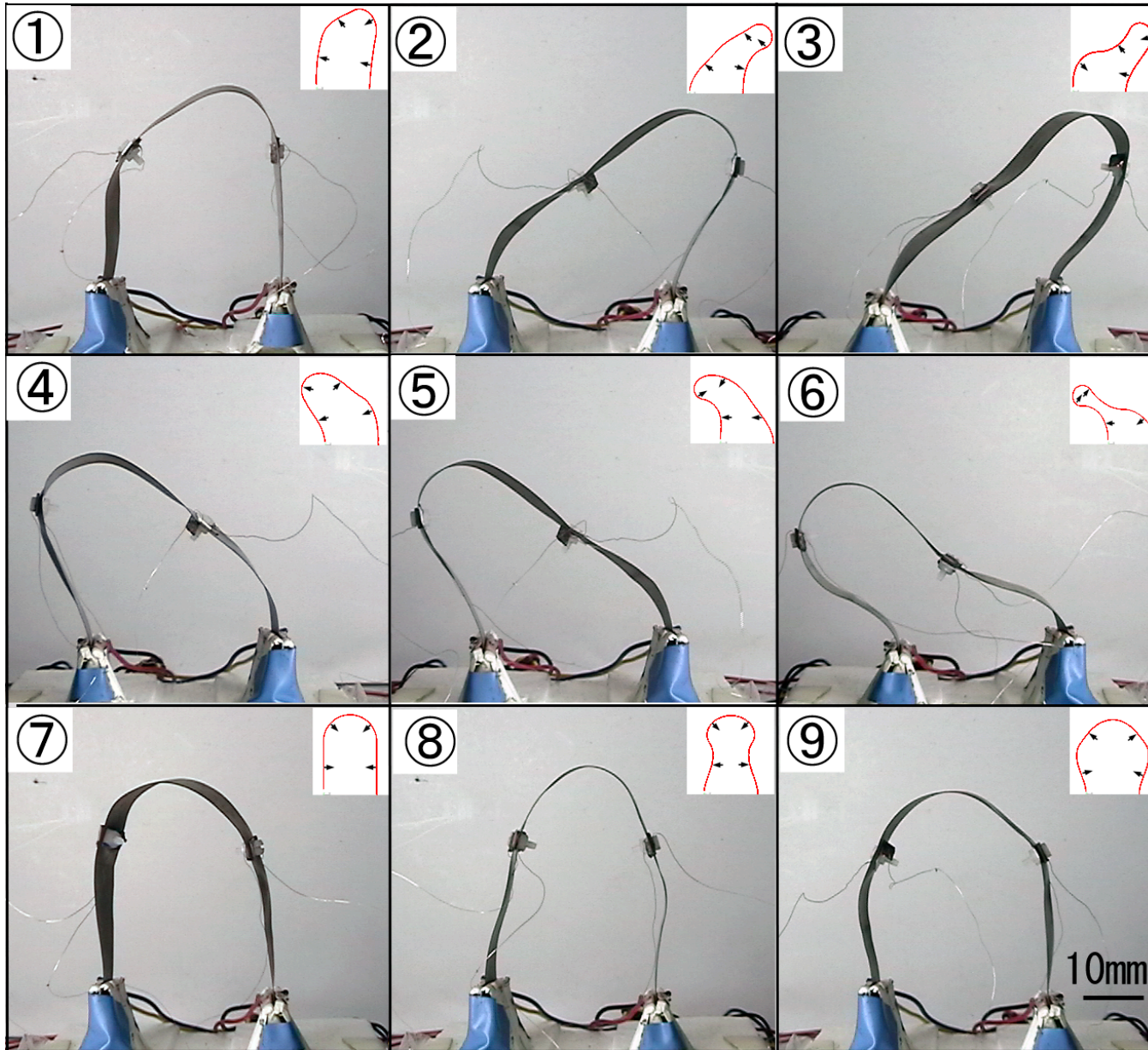
- Ion exchanging membrane
- Metal electrodes

1. High power to weight ratio
2. Self actuating smart structure
3. Multi DOF, batch fabrication
4. Possibility to use as sensor
5. Low voltage, high durability...



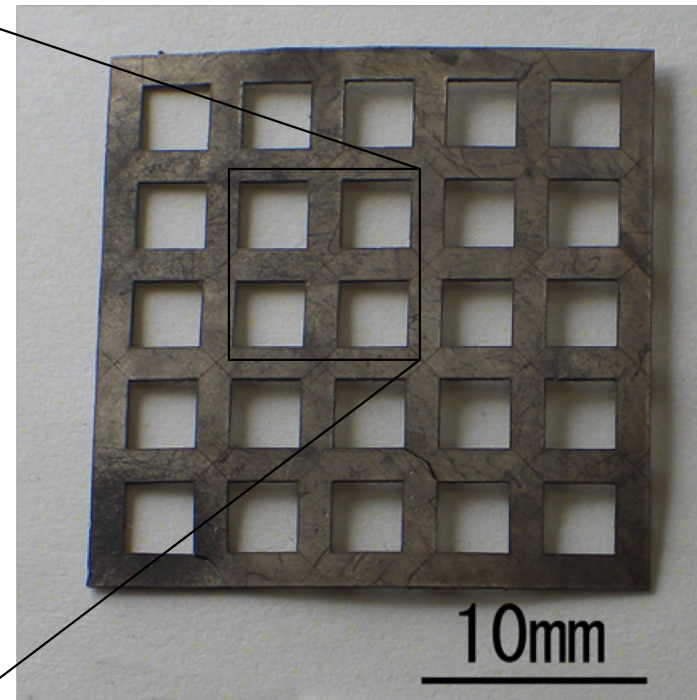
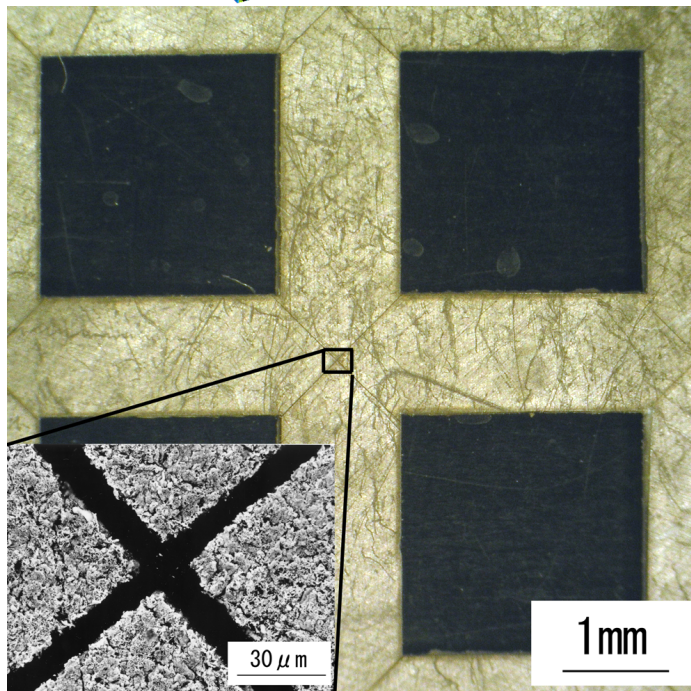
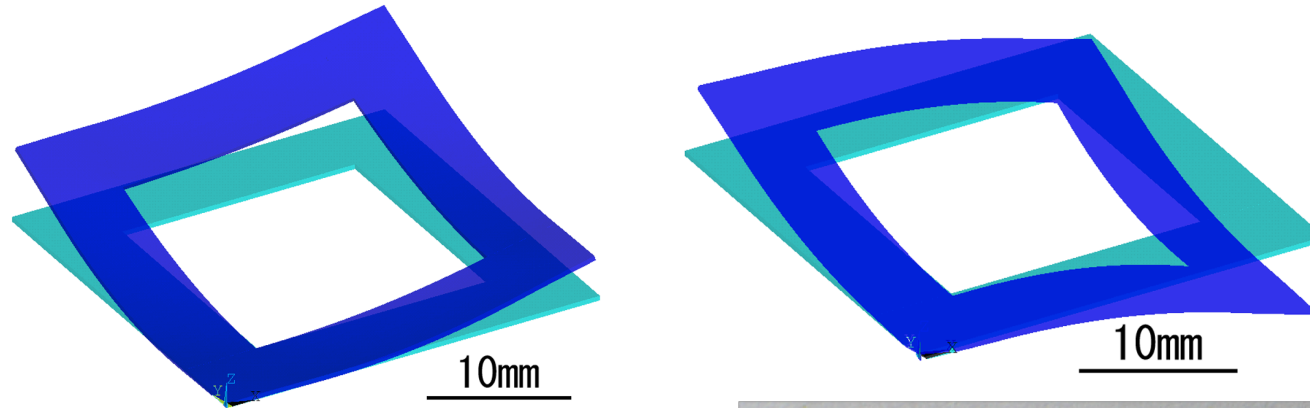
# Process Flow







### 3-D object creator-Simulation and Fabrication-



# Nanorobots ?

## **There's Plenty of Room at the Bottom**

*An Invitation to Enter a New Field of Physics*

*by Richard P. Feynman*

December 29th 1959

at [California Institute of Technology](http://www.caltech.edu)

<http://www.zyvex.com/nanotech/feynman.html>



## *Encyclopedia Britannica on the head of a pin?*

The head of a pin is 1.5 mm across.

Magnify by 25,000 diameters, gives the area of all pages of the Encyclopaedia.

Is it possible to reduce the writing by 25'000?

The resolving power of the eye is about  $200\mu$  ---

that is roughly the diameter of a little dot on the fine half-tone photos.

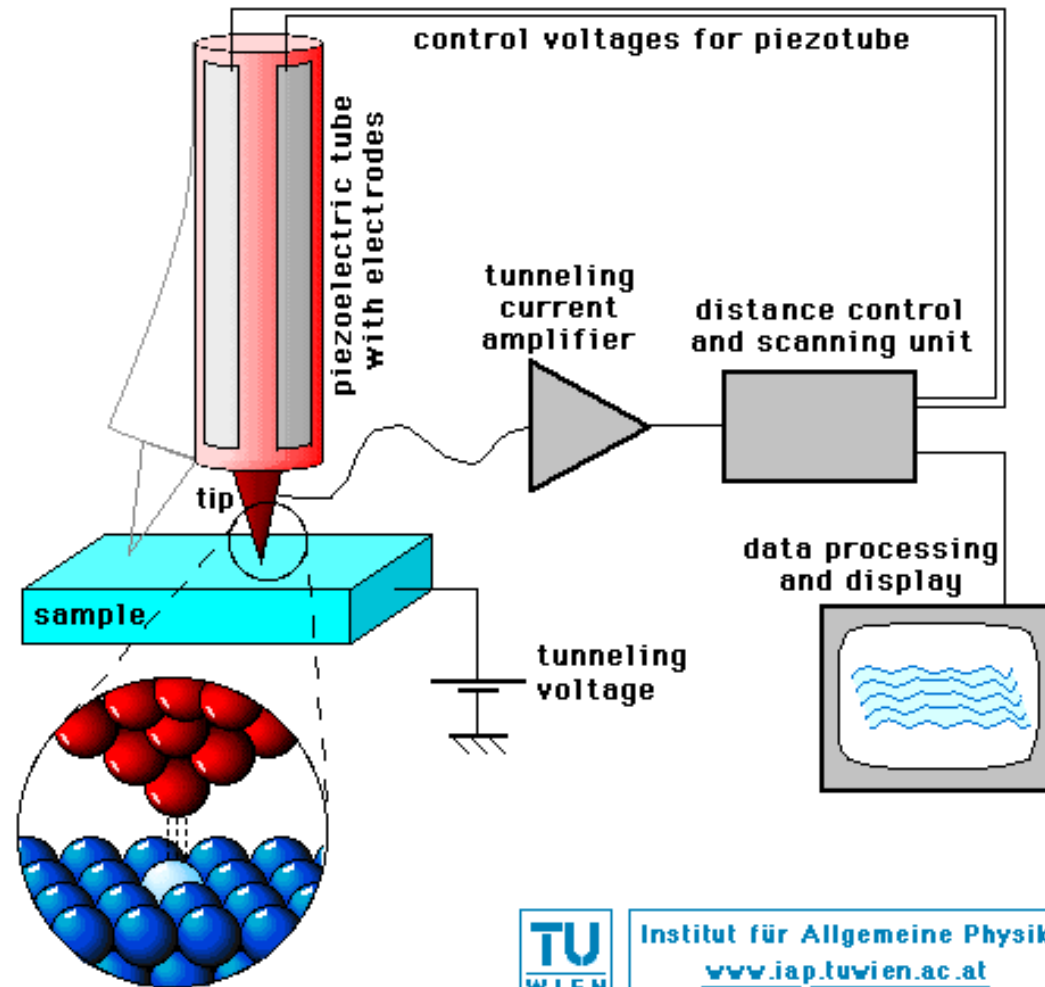
Demagnify it by 25,000 times, still 80 angstroms in diameter---

32 atoms across, in an ordinary metal. In other words,

**one dot** (reduced 25'000 times) **still contains 1,000 atoms.**

**Therefore there is enough room on the head of a pin  
to put all of the Encyclopaedia Britannica.**

# Scanning Tunneling Microscope STM



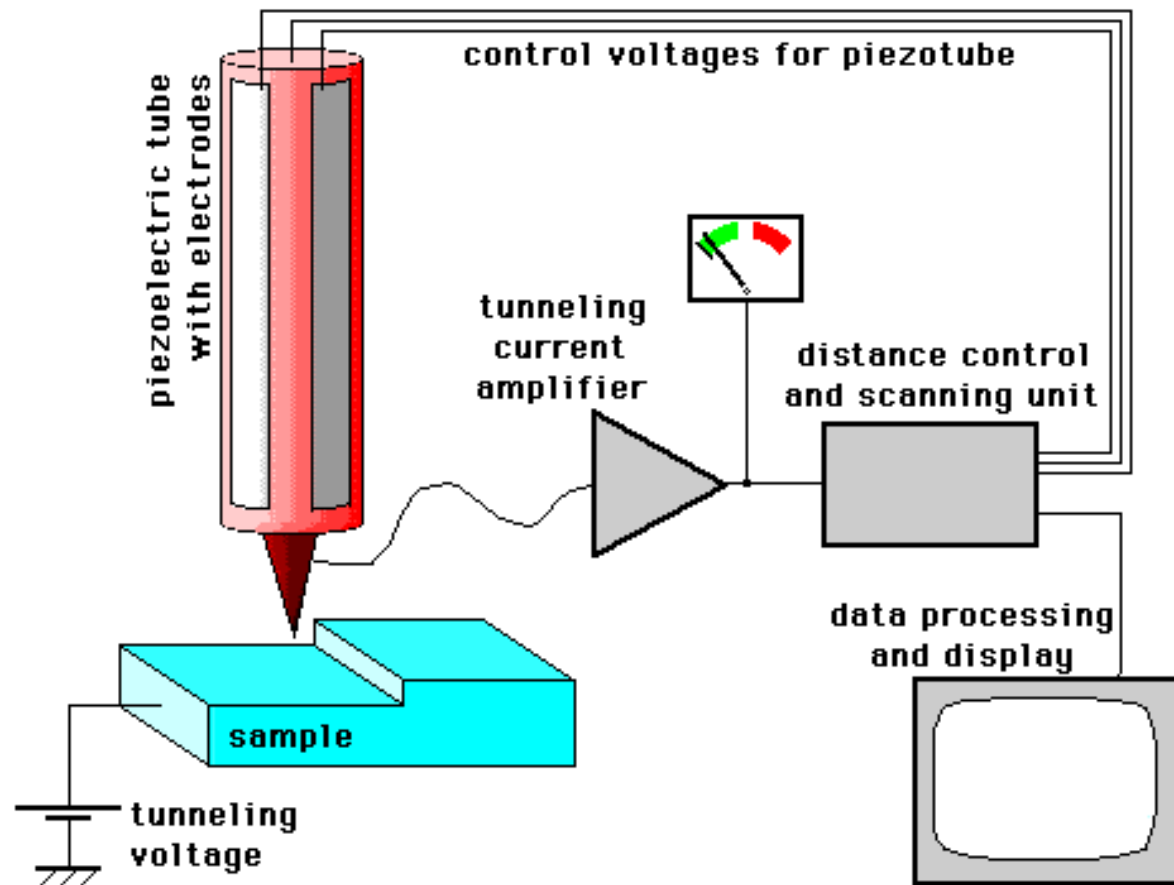
# Prix Nobel 1986: Laboratoires IBM, Rüschlikon



Heinrich Rohrer



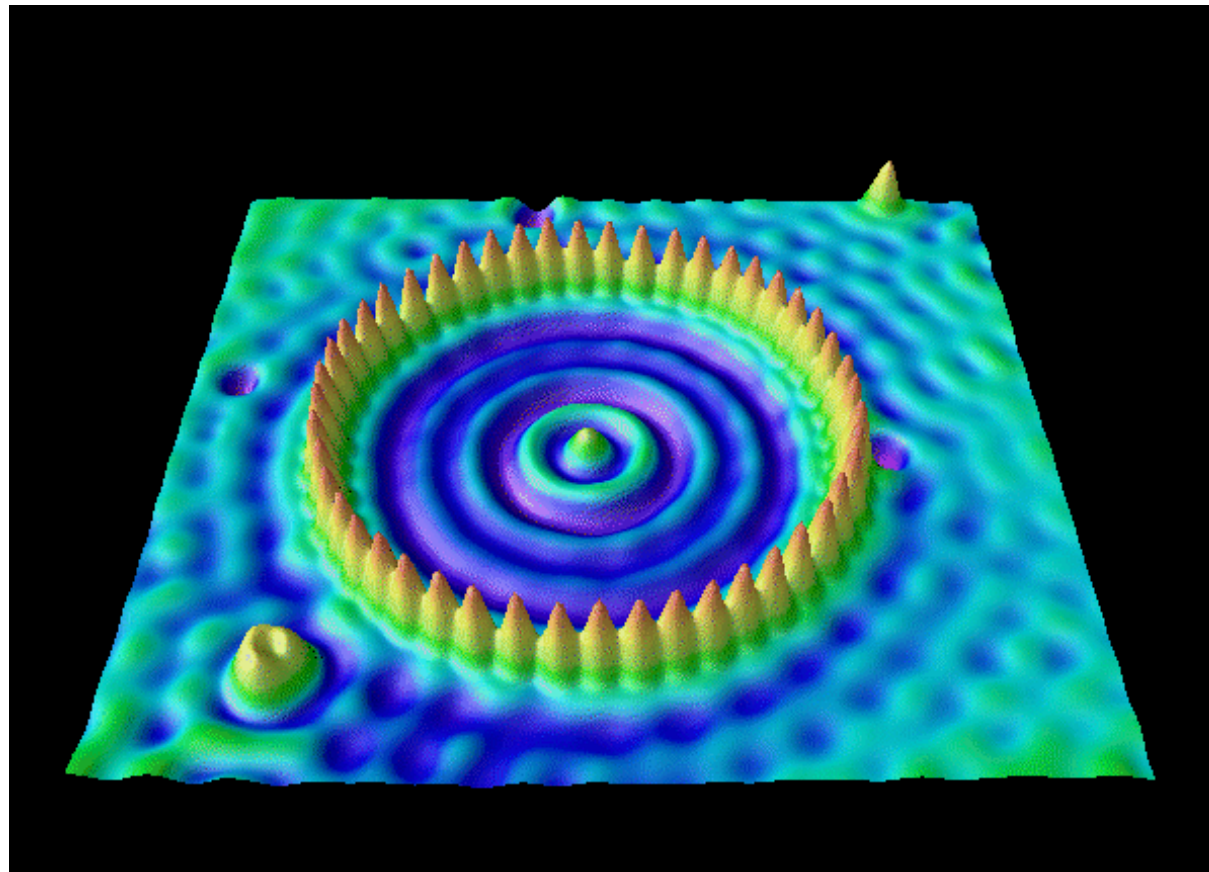
Gerd Binnig



## How an STM works ...

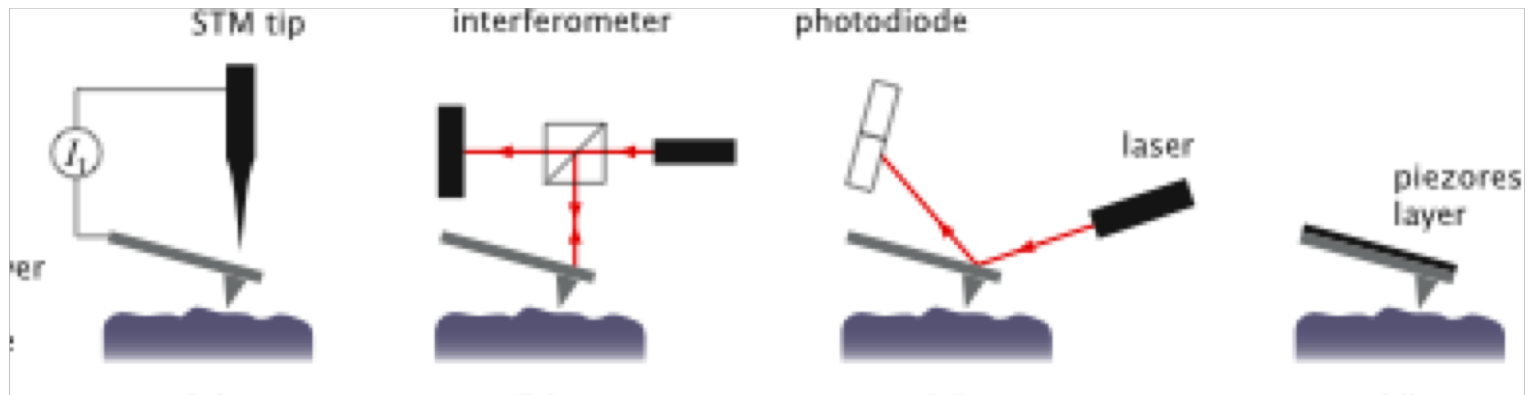
© Michael Schmid  
 Institut f. Allgemeine Physik  
 TU Wien 1997-2002

Effets quantiques: P.ex.  
Ondes de densité de charge  
Image STM d'un anneau d'atomes de métal



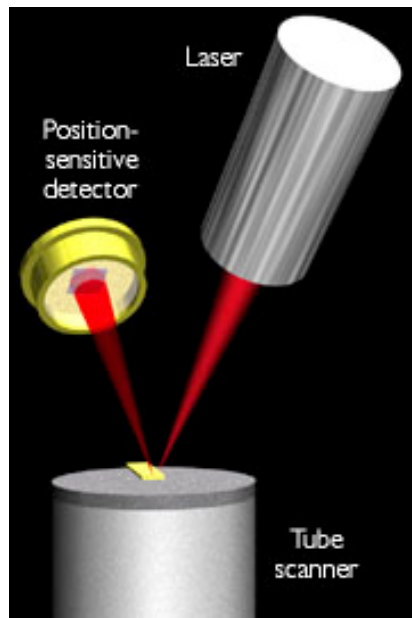
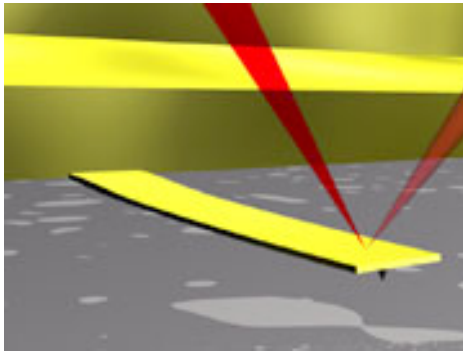
# Atomic Force Microscope AFM

## Microscope à effet de force atomique

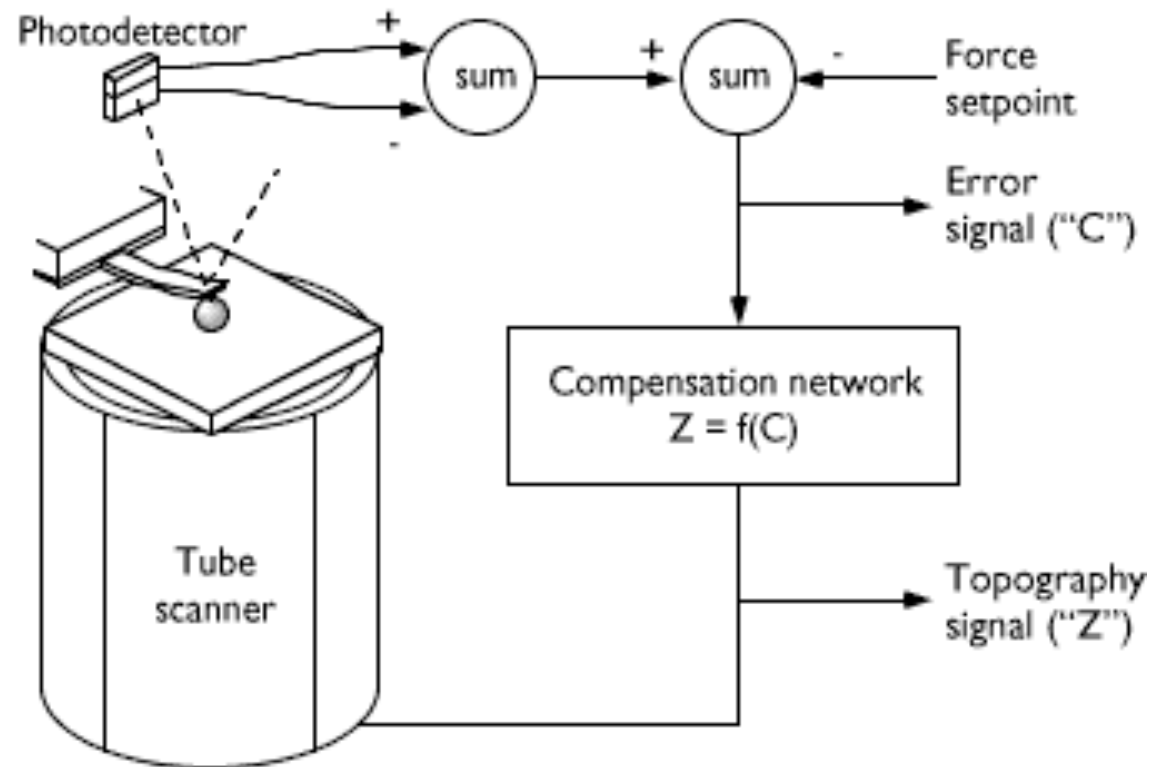




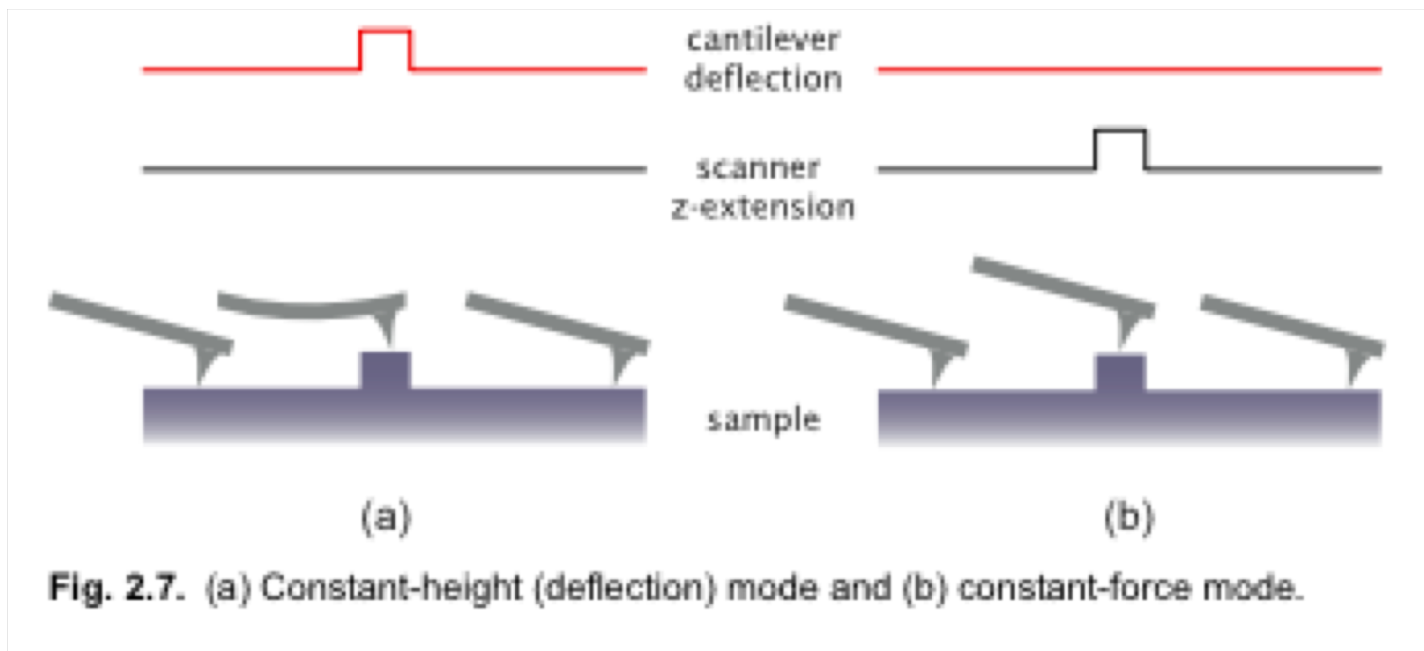
# Atomic Force Microscope AFM



# Boucle de contrôle, mode contact

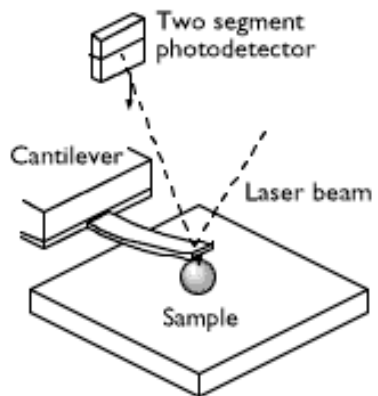


# Force constante – déflexion constante

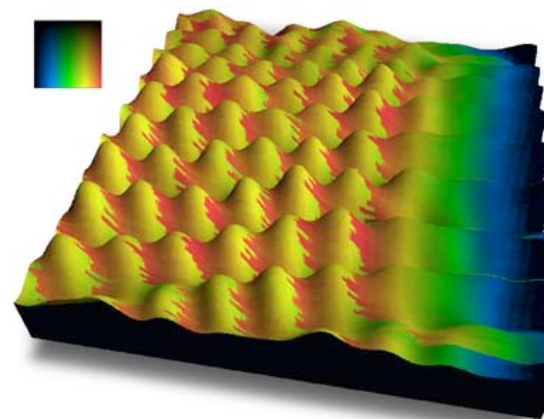
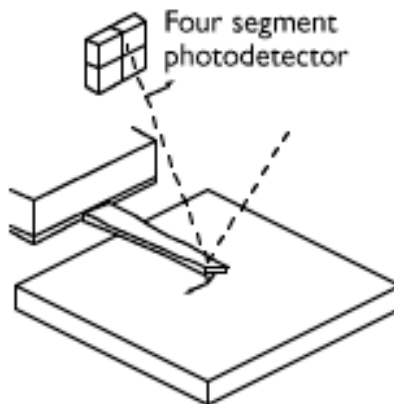


# Autres modes

**Atomic force microscopy**

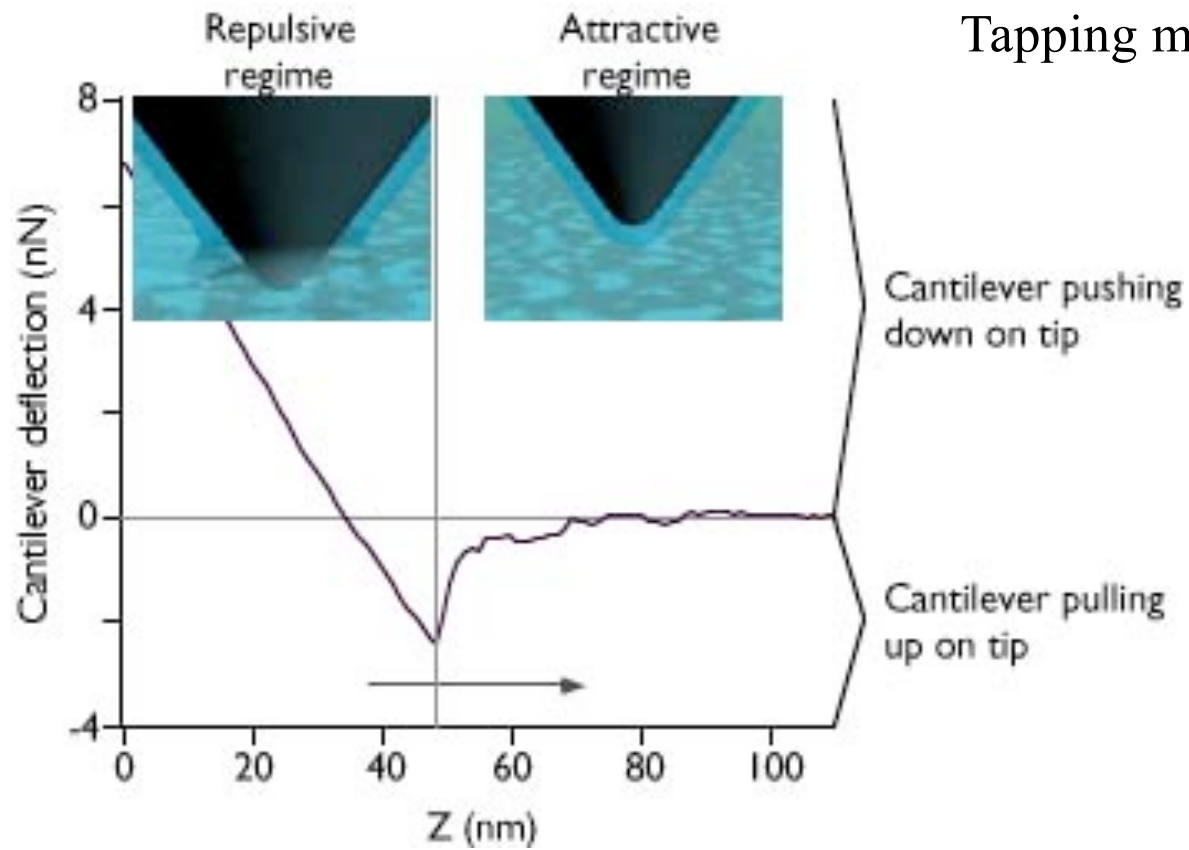


**Frictional force microscopy**

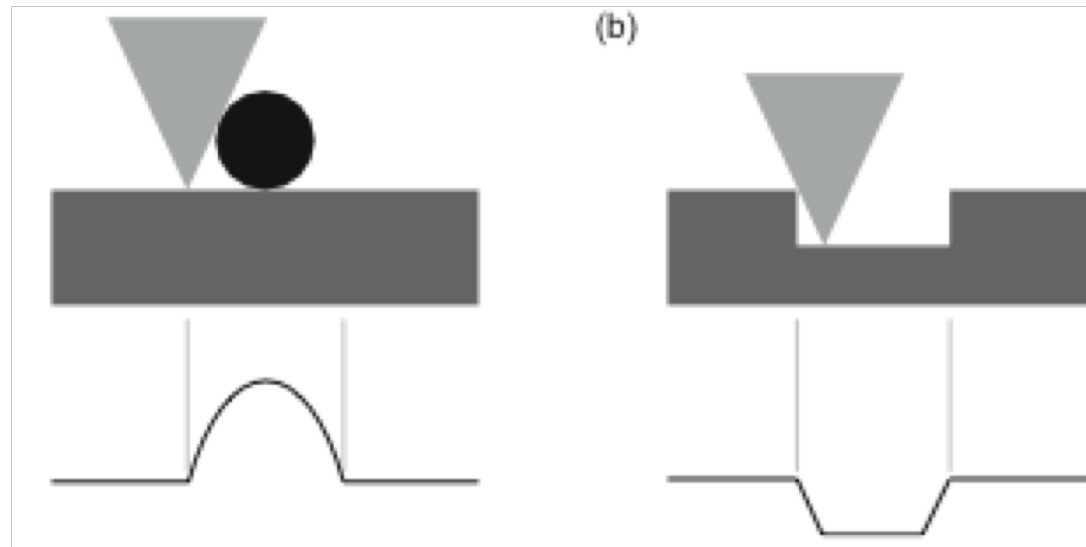


# Force répulsive

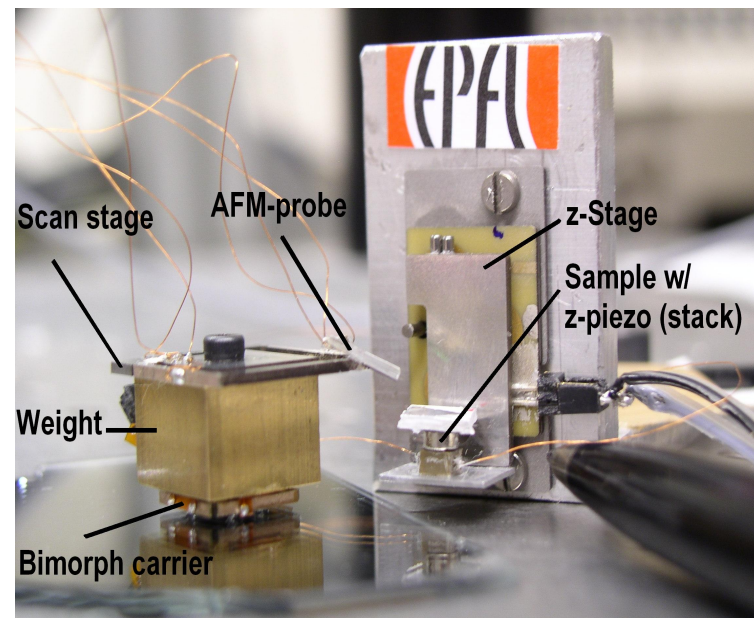
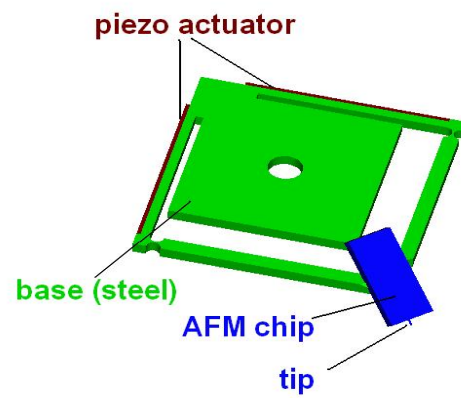
Non-contact mode  
(Resonance,  
Lock-in amp.)  
Tapping mode ...



# Convolution de la forme de la pointe avec l'échantillon



# Scanner AFM

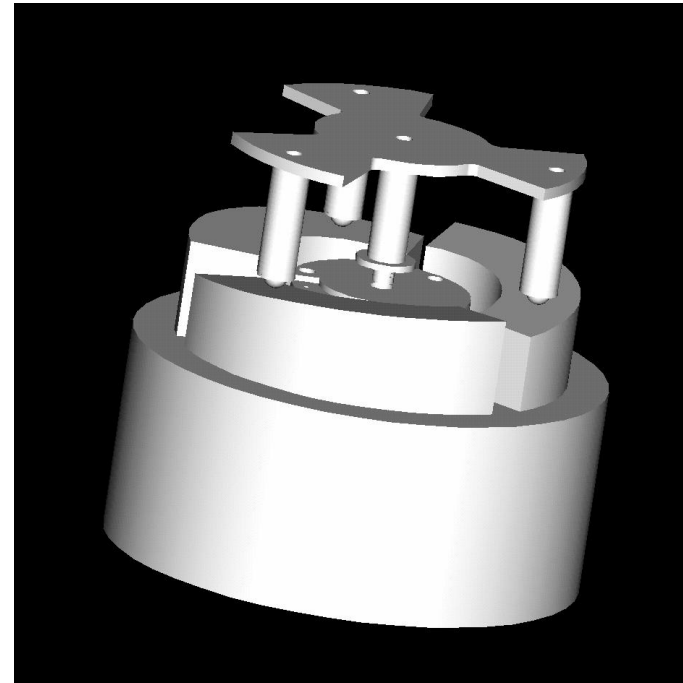


## Besocke's "Beetle" STM

Symmetric structure:

4 pzt tubes  
Three pillars,  
central column  
with scanning tip

First resonance 1.6 kHz  
Thermal drift < 1 nm/min



Look for high eigen frequency!



**Nanometer  
precision  
from  
0° to  
1000° K !**

